



## مقاله پژوهشی

## ارزیابی تأثیر پوتروسین و براسینواستروئید در القای تحمل به خشکی و تغییر فعالیت‌های فیزیولوژیکی در گیاه ریحان (*Ocimum basilicum* L.)

فرشته دارابی<sup>۱</sup>، نصرت الله عباسی<sup>۲\*</sup>، محمدجواد زارع<sup>۲</sup>

۱. دانشجوی دکتری فیزیولوژی گیاهان زراعی، دانشکده کشاورزی، دانشگاه ایلام

۲. استادیار گروه زراعت و اصلاح نباتات، دانشکده کشاورزی، دانشگاه ایلام

۳. دانشیار گروه زراعت و اصلاح نباتات، دانشکده کشاورزی، دانشگاه ایلام

تاریخ دریافت: ۹۸/۰۲/۱۴؛ تاریخ پذیرش: ۹۸/۰۳/۲۹

## چکیده

تنش خشکی یکی از فاکتورهای مهم محیطی در مناطق خشک و نیمه‌خشک دنیا است که سبب ایجاد یکسری تغییرات فیزیولوژیکی و متابولیکی در گیاهان می‌شود. تنش خشکی موجب تشکیل گونه‌های اکسیژن فعال در کلروپلاست‌های گیاهی و همچنین سبب پوتروسین و براسینواستروئید بر کنترل تنش اکسیداتیو و تغییرات فیزیولوژیکی در تحمل به کمبود آب در گیاه ریحان بهصورت اسپلیت‌پلات فاکتوریل در قالب طرح پایه بلوک‌های کامل تصادفی با سه تکرار در مزرعه تحقیقاتی دانشکده کشاورزی دانشگاه ایلام در سال زراعی ۱۳۹۶-۹۷ اجرا شد. تیمارهای آزمایش شامل تنش خشکی در سه سطح (۴۰، ۴۰ و ۲۰ میلی‌متر بخیر از تشتک تبخیر کلاس A) به عنوان عامل اصلی و محلول‌پاشی پوتروسین در سه سطح (صفر، ۵ و ۲ میلی‌مولار) و محلول‌پاشی براسینواستروئید در سه سطح (صفر، ۵ و ۲ میکرومولار) بهصورت فاکتوریل در کرتهای فرعی اجرا گردید. بنا بر نتایج بدست آمده در این پژوهش، میزان کلروفیل a و b، فلاونوئید کل و غلظت  $\text{CO}_2$  زیر روزنهاي به ترتیب در تیمار کاربرد تؤام محلول‌پاشی ۲ میلی‌مولار پوتروسین و ۲ میکرومولار براسینواستروئید نسبت به تیمار شاهد (عدم محلول‌پاشی پوتروسین و براسینواستروئید) در شرایط عدم تنش خشکی ۳۳/۱، ۶۸/۶، ۶۲/۱ درصد و در تنش خشکی شدید ۴۵/۶۸، ۶۴/۰۷ و ۱۹/۵ درصد، در تنش متوسط ۳۳/۹، ۶۱/۴ و ۱۰/۳ درصد و در تنش خشکی شدید ۰/۶ درصد افزایش نشان دادند. سرعت فتوسنترز تحت تنش خشکی کاهش یافت اما تیمار غلظت ۵/۰ میلی‌مولار پوتروسین و ۲ میکرومولار براسینواستروئید نسبت به تیمار شاهد (عدم محلول‌پاشی پوتروسین و براسینواستروئید) در تنش خشکی متوسط و شدید ۰/۵ درصد افزایش ۷۶/۵۹ و ۸۳/۲۲ درصدی سرعت فتوسنترز شد. تیمار کاربرد محلول‌پاشی غلظت ۲ میلی‌مولار پوتروسین و ۵/۰ میکرومولار براسینواستروئید سبب کاهش میزان نشت یونی تحت همه سطوح تنش خشکی گردید. میزان درصد انسانس در تیمار (غلظت ۲ میلی‌مولار پوتروسین و ۵/۰ میکرومولار براسینواستروئید) در تنش خشکی شدید، تنش خشکی متوسط و عدم تنش خشکی به ترتیب ۳۹/۵، ۶۶/۵ و ۵۰ درصد نسبت به تیمار شاهد (عدم محلول‌پاشی پوتروسین و براسینواستروئید) افزایش یافت. در کل، به نظر می‌رسد مصرف غلظت بالای پوتروسین و براسینواستروئید (غلظت ۲ میلی‌مولار پوتروسین و ۲ میکرومولار براسینواستروئید) در شرایط تنش خشکی می‌تواند ساختهای فیزیولوژیک گیاه ریحان را بهبود بخشد.

واژه‌های کلیدی: درصد انسانس، ریحان، فتوسنترز، فلاونوئید، محلول‌پاشی

## مقدمه

گیاه ریحان (Ocimum basilicum L.) متعلق به تیره آفریقا و آمریکای جنوبی است (Panahinia et al., 2016). انسانس این گیاه به طور عمده شامل فنیل پروپانوئیدها است نعناعیان و بومی مناطق گرمسیری و نیمه‌گرمسیری آسیا،

تحقیقات مختلف نشان‌دهنده نقش پلی‌آمین‌ها در کاهش تنش‌های محیطی بر روی گیاهان است. نظری و همکاران (Nazarli et al., 2015) گزارش کردند از آنجایی که پلی-آمین‌ها از جمله مولکول‌های مؤثر در مسیر علامت‌رسانی تنش‌ها به شمار می‌روند، محلول‌پاشی این مواد به القای پاسخ‌های دفاعی گیاه (از جمله آنزیم‌های ضد اکسیدانت) می‌انجامد، به احتمال زیاد این پاسخ‌ها به افزایش تحمل گیاه با بونه آلمانی به تنش خشکی منجر شده و میزان رشد و تولید زیست‌توده را در این شرایط افزایش داده است.

اسکندری و همکاران (Eskandari et al., 2013) گزارش داد که استفاده از ۲۸-هموپراسینولید در غلظت‌های ۱۰-۸ و ۱۰-۱۰ مولار از طریق کاهش اثر تنش خشکی باعث بهبود و افزایش معنی‌دار پارامترهای رشد و عملکرد ماده خشک تولیدی در شرایط تنش ملایم و شدید گیاه مرزه بختیاری گردید. با به کار گیری یک میلی‌مولار پوتربیسین غلظت کلروفیل a، کلروفیل کل، کاروتینوئید و درصد انسنس برگ نعناع فلکلی افزایش یافت (Naajarzadeh et al., 2015). محلول‌پاشی پوتربیسین بر روی گیاه با بونه نشان داد که غلظت ۱۵۰ پی‌پی‌ام پوتربیسین بیشترین تأثیر مثبت را بر صفات فیزیولوژیک و عملکرد گیاه با بونه داشت (Mahgoub et al., 2011).

محلول‌پاشی برگی پوتربیسین روی گیاه آوبشن تحت تنش خشکی باعث افزایش میزان قندهای محلول کل، محتوای فنول‌های محلول کل و کل محتوای رنگدانه‌های فتوسنترزی گردید (Saffari et al., 2016). احمدی موسوی و همکاران (Ahmadi mousavi et al., 2010) گزارش دادند که مقدار کلروفیل a,b، کاروتینوئیدها و محتوی نسبی آب برگ در طی تنش کم‌آبی کاسته شد ولی در گیاهان تیمار شده با ۲۴-ایپریاسینولید افزایش قابل توجهی مشاهده شد. در پژوهش حاضر برای روش‌شن شدن نقش حفاظتی تنظیم‌کننده‌های رشد گیاهی (پوتربیسین و اپی براسینواستروئیدها) بر فرآیندهای فیزیولوژیکی افزایش‌دهنده مقاومت به تنش کم‌آبی، به صورت بروزنزا روی گیاه ریحان مورد آزمایش قرار گرفت که این اطلاعات می‌تواند برای بهینه‌سازی تولید متابولیت‌های ثانویه در گیاه ریحان سودمند باشد.

#### مواد و روش‌ها

این آزمایش در مزرعه تحقیقاتی دانشکده کشاورزی دانشگاه ایلام با طول جغرافیایی ۴۶ درجه و ۲۸ دقیقه، عرض

که در درمان بیمارهای چون سردرد، اسهال، سرفه، زگیل و نارسایی‌های کلیوی مورد استفاده قرار می‌گیرد (Gohari et al., 2017). همچنین به عنوان طعم‌دهنده و معطر کننده مواد غذایی و منبعی از ترکیبات معطر و اسانس‌ها شناخته می‌شود که خاصیت ضد انگلی و دفع‌کنندگی حشرات را دارد (Amerei et al., 2014).

گیاهان در طول دوره رشد خود با تنش‌های محیطی متعددی روبرو می‌شوند که سبب تغییرات مورفو‌لولژیکی، فیزیولوژیکی، متابولیکی، بیوشیمیابی و مولکولی متعددی در آن‌ها می‌شود که این امر موجب بازدارندگی شدیدی در رشد گیاه و در نتیجه کاهش محصول می‌شود (Imam and Zavarehi, 2005). پاسخ گیاهان به تنش‌های محیطی متفاوت است و همچنین توانایی گیاهان برای سازش به تنش‌های محیطی به نوع، شدت و مدت تنش، زمان و قوع، مرحله رشد و گونه گیاهی بستگی دارد (Yordanov and Tsoev, 2000). در گیاهان دارویی تولید متابولیت‌های ثانویه تحت کنترل ژنتیکی است، ولی عوامل محیطی به ویژه شرایط تنش‌زا، مانند خشکی و شوری نقش عمده‌ای در کمیت و کیفیت این ترکیبات دارند (Alishah et al., 2006).

برای کاهش اثرات سوء تنش آبی بر گیاهان، روش‌های فیزیولوژیکی مختلفی به کار می‌روند که در این میان استفاده از تنظیم‌کننده‌های رشد یکی از مناسب‌ترین و کاربردی‌ترین روش‌ها برای القای تحمل به خشکی در محصولات کشاورزی مورداستفاده می‌باشد (Anjum et al., 2011). پلی‌آمین‌ها شامل اسپرمیدین، اسپرمین و پوتربیسین، ترکیب‌های پلی-کاتیونی با وزن مولکولی پایین هستند که به عنوان تنظیم‌کننده‌های اسمزی نقش ایفا می‌کنند و در تنظیم برخی از فرآیندهای اساسی سلول مانند همانندسازی DNA، رونویسی، ترجمه، تقسیم سلولی، تنظیم فعالیت آنزیم‌ها، حفظ پایداری غشاها، جاروب کردن رادیکال‌های فعال و Gill and Tuteja (2010). براسینواستروئیدها به عنوان یک گروه جدید از تنظیم‌کننده‌های رشد دارای اثرات زیستی قابل توجه بر گیاهان هستند، براسینواستروئیدها تحمل گیاهان را در محدوده وسیعی از تنش‌های محیطی خشکی، شوری، سرما و گرما افزایش داده و این افزایش عموماً وابسته به تولید و افزایش رونویشت ژن‌های مسئول پاسخ به تنش، برای بالا بردن تحمل به تنش، در درون گیاهان تیمار شده با براسینواستروئید بوده است (Eskandari et al., 2013).

در کرت‌های فرعی قرار گرفتند. مشخصات خاک مورد آزمایش، در جدول (۱) و شرایط آب و هوایی محل اجرای آزمایش در جدول (۲) ارائه شده است. واحد آزمایشی در ابعاد  $3 \times 3$  متر ایجاد و در هر واحد آزمایشی پنج ردیف به طول سه متر و به فاصله ۵۰ سانتی‌متر از هم دیگر و فاصله بذور در روی ردیف دو سانتی‌متر در نظر گرفته شد. بذرها ریحان توده افغانی در تاریخ ۲۰ اردیبهشت برابر نقشه طرح کشت شد.

جغرافیایی ۳۳ درجه و ۳۷ دقیقه، ارتفاع از سطح دریا ۱۱۷۴ متر به صورت اسپلیت‌پلات فاکتوریل در قالب طرح بلوک‌های کامل تصادفی با سه تکرار در اردیبهشت‌ماه سال ۱۳۹۷-۱۳۹۶ اجرا شد. تیمارهای آزمایش شامل تنش خشکی در سه سطح (۴۰، ۸۰ و ۱۲۰ میلی‌متر تبخیر از تشتک تبخیر) به عنوان عامل اصلی و محلول‌پاشی پوتریسین در سه سطح (صفرا، ۰/۵ و ۲ میلی‌مولار) و محلول‌پاشی براسینواستروئید در سه سطح (صفرا، ۰/۵ و ۲ میکرومولار) به صورت فاکتوریل

جدول ۱. خصوصیات فیزیکی و شیمیایی خاک محل آزمایش

Table 1. Physical and Chemical Properties of soil

بافت خاک soil texture	عمق خاک Soil Depth	C	N%	P	K	Mn	Cu	Zn	EC	pH
لومی‌رسی Loamy clay	0-30	1.83	0.18	7	590	7.96	1.2	1.08	0.3	7

جدول ۲. آمار هواشناسی در طول مدت اجرای طرح در سال ۹۶-۹۷

Table 2. Meteorological statistics during the period of implementation of the plan in 2017-2018.

Months of the year 2017-2018	Temperature (°C)	Rainfall (mm)	Relative Humidity (%)	رطوبت نسبی (درصد)	بارندگی (میلی‌متر)	میانگین دما (درجه سانتی‌گراد)	ماههای سال ۹۶-۹۷
March	فوردین	13.2	140	63			
April	اردیبهشت	19.9	19.9	8			
May	خرداد	24.4	0	24			
June	تیر	30	0	19			
July	مرداد	31.2	0	17			
August	شهریور	28.6	0	27			
September	مهر	20.2	0	27			

تنش رطوبتی صورت گرفت. همچنین برای جلوگیری از تأثیر نامطلوب نور خورشید محلول‌پاشی به هنگام غروب آفتاب انجام گرفت. محلول‌پاشی با استفاده از تلمبهای دستی که پاشش محلول را به طور یکنواخت روی کانوپی (آسمانه) گیاه انجام می‌دهد استفاده شد. بوتهای شاهد با آب مقطر پاشش شدند.

برای اعمال تیمارهای آبیاری پس از استقرار گیاه‌چه (۷-۶ برگی) با محاسبه ظرفیت زراعی مزرعه و نقطه‌ی پژمردگی دائم و میزان تبخیر از تشتک تبخیر با جایگزینی اعداد در رابطه‌ی موردنظر (۱) میزان حجم آب موردنیاز برای آبیاری محاسبه گردید (Bucks et al., 1982) همچنین برای تعیین

برای جلوگیری از حرکت جانبی آب، اطراف هر کرت پشتنهایی به عرض یک متر قرار داده شد. افزون بر این، برای اطمینان بیشتر از عدم حرکت جانبی آب، فاصله بین کرت‌های مربوط به تیمارهای مختلف آبیاری دو متر در نظر گرفته شد. از هیچ علف‌کشی برای کنترل علفهای هرز در این آزمایش استفاده نشد و برای کنترل آن‌ها و جین دستی صورت گرفت و به علت نبود آفات و بیماری‌ها در کرت‌های آزمایشی از سوم آفت‌کش استفاده نشد. نحوه عمل محلول‌پاشی بدین صورت بود که محلول‌پاشی برگی هورمون‌های پoterisins و براسینواستروئید (تهیه شده از شرکت سیگما) در سه نوبت به فاصله ۷۲ ساعت یکبار و نزدیک به یک هفته پس از آغاز

سانتی‌گراد در داخل آون قرار داده شدند. پس از این مدت نمونه‌ها توزین تا وزن خشک به دست آید. از رابطه زیر محظای نسبی آب برگ محاسبه گردید:

$$RWC = \frac{(WF-WD)}{(WT-WD)} \times 100 \quad [5]$$

که در آن RWC: محتوای نسبی آب، WF: وزن تر، WD: وزن خشک و WT: وزن اشباع هستند.

### نشت یونی

جهت اندازه‌گیری نشت یونی از روش فلاینت (Flinet, 1966) استفاده گردید. از هر بوته یک برگ در موقعیت یکسان جدا و سپس توسط پانچر از هر برگ دیسک‌هایی تهیه و بر روی کاغذ صافی واتمن جهت حذف الکتروولیت‌هایی که به سطح آن‌ها چسبیده است قرار داده شد و سپس با آب قطره‌شیشو داده شدند. سپس نمونه‌ها داخل لوله‌های درب ۲۴ دار حاوی پنج میلی‌لیتر آب قطره قرار داده شد و به مدت ۲۴ ساعت در دمای اتاق نگهداری گردیدند. سپس هدایت الکتریکی اولیه (EC1) محلول در تماس با نمونه‌ها توسط EC (Jenway 4010) اندازه‌گیری شد. سپس نمونه‌ها متر (مدل ۲۰ درجه سانتی‌گراد به مدت ۲۴ ساعت قرار داده شدند. جهت پاره شدن سلول‌ها و خروج محتویات آن‌ها به محلول، عمل يخ زدن و ذوب شدن چندین بار تکرار گردید. درنهایت هدایت الکتریکی نهایی (EC2) قرائت گردید. میزان نشت یونی با استفاده از فرمول زیر محاسبه گردید.

$$RWC = \frac{EC1}{EC2} \times 100 \quad [6]$$

### محتوای کلروفیل و کارتنوئید

برای سنجش محتوای کلروفیل و کارتوئنیوئیدها از روش Lichtenthaler and Wilborn (Wellburn, 1983) استفاده شد. ۰/۱ گرم از برگ‌های تازه گیاه در هاون چینی حاوی ۱۵ میلی‌لیتر استن ۸۰ درصد سائیده شد و پس از صاف کردن، جذب آن با دستگاه اسپکتروفوتومتر (Varian) در طول موج‌های ۶۴۶/۸، ۶۶۳/۲ و ۴۷۰ نانومتر خوانده شد. جهت تنظیم دستگاه از استن ۸۰ درصد به عنوان شاهد استفاده گردید. غلاظت رنگیزه‌های گیاهی بر حسب میلی‌گرم بر گرم وزن تازه با استفاده از رابطه‌های زیر محاسبه گردید.

$$Chl.a = (12.25A663.2 - 2.79A646.8) \quad [7]$$

دور آبیاری از میزان تبخیر از تشتک تبخیر و از طریق محاسبه‌ی نیاز آبی گیاه و رابطه‌های (۲، ۳ و ۴) استفاده گردید (Allen et al., 1998). آبیاری با شیلنگ و کنتور صورت گرفت.

$$V_W = \frac{(Fc-PWP) \times BD \times A \times D \times AMD}{Ea} \quad [1]$$

که در آن  $V_W$ : حجم آب آبیاری (مترمکعب)،  $Fc$ : درصد وزنی رطوبت خاک در حالت ظرفیت مزرعه،  $PWP$ : درصد وزنی رطوبت خاک در حالت پژمردگی دائم،  $BD$ : وزن مخصوص ظاهری خاک مزرعه (گرم بر سانتی‌متر مکعب)،  $A$ : مساحت کرت فرعی آزمایش (مترمربع)،  $D$ : عمق ریشه (متر)،  $Ea$ : حداکثر تخلیه مجاز رطوبتی (گرم بر سانتی‌مترمکعب)، و  $RWC$ : راندمان آب آبیاری هستند.

$$ET_0 = KP \times ETP \quad [2]$$

$$ETC_0 = KC \times ET \quad [3]$$

که در آن  $ET$ : تبخیر و تعرق گیاه مرجع،  $KP$ : ضریب تشتک تبخیر کلاس  $A$ ،  $ETP$ : میزان تبخیر روزانه از تشتک تبخیر،  $ETC_0$ : تبخیر و تعرق محصول و  $KC$ : ضریب گیاهی ریحان هستند

$$RWC = \frac{(\Theta Fc - \Theta PWP) \times D \times MAD \times BD}{ETC_0} \quad [4]$$

در این رابطه  $D$ : عمق توسعه ریشه (میلی‌متر)،  $MAD$ : حد مجاز تخلیه رطوبت برای گیاه ریحان و  $Pb$ : وزن مخصوص ظاهری خاک (گرم بر سانتی‌مترمربع) هستند. پس از اعمال تنش، نمونه‌برداری و اندازه‌گیری صفات در مرحله آغاز گلدهی صورت پذیرفت. صفات ارزیابی شده در این آزمایش شامل صفات زیر بودند:

### محتوای نسبی آب برگ (RWC)

برای تعیین محتوای نسبی آب برگ از روش دیازپرز (DiazPerez, 2006) استفاده شد. ابتدا برگ جوان در موقعیت یکسان روى بوته از هر نمونه انتخاب و جدا گردید. بعد از جدا نمودن برگ از گیاه بلا فاصله نمونه‌ها در محیط آزمایشگاهی به وسیله ترازو (با دقیقه ۱/۰۰۰ گرم) توزین شدند (وزن تر) و سپس به مدت ۲۴ ساعت در آب مقطع (جهت آبگیری کامل) قرار گرفته و پس از خشک شدن آب سطحی توسط دستمال کاغذی مجددًا توزین گردیدند (وزن اشباع) پس از آن برگ‌ها به مدت ۴۸ ساعت و در دمای ۷۵ درجه

### فلاونوئید کل

از روش رنگ سنجی کلرید آلمینیوم برای تعیین مقدار فلاونوئیدها استفاده شد ((Liu et al., 2009) ۲ میلی لیتر از هر یک از عصاره‌های رقیق شده متانولی (۵:۱) با دو میلی لیتر کلرید آلمینیوم دو درصد داخل لوله‌آزمایش ترکیب شدن. بعد از نگهداری نمونه‌ها در دمای اتاق به مدت ۱۵ دقیقه، جذب نمونه‌ها در ۴۱۵ نانومتر خوانده شد.

تجزیه واریانس داده‌ها با استفاده از نرم‌افزار SAS 9.1 و مقایسه میانگین‌ها با آزمون حداقل اختلاف معنی‌دار در سطح احتمال ۵ درصد و ترسیم شکل‌ها در محیط نرم‌افزار Excel صورت گرفت.

### نتایج و بحث

#### محتوای نسبی آب برگ

محتوای نسبی آب برگ گیاه ریحان به طور معنی‌داری ( $P < 0.01$ ) تحت تأثیر برهمکنش سه‌گانه تنش خشکی × پوتروسین × براسینواستروئید قرار گرفت (جدول ۳). بیشترین میزان محتوای نسبی آب برگ با کاربرد غلظت ۲ میلی‌مولاو پوتروسین تأمباً غلظت ۲ میکرومولاو براسینواستروئید تحت شرایط عدم تنش خشکی (۴۰ میلی‌متر تبخیر از تشک تبخیر) و کمترین میزان آن در تیمار عدم محلول‌پاشی تحت شرایط تنش شدید خشکی مشاهده شد (شکل ۱). ۲ محلول‌پاشی غلظت ۲ میلی‌مولاو پوتروسین به همراه ۲ میکرومولاو براسینواستروئید (شاهد) در شرایط ۴۰، ۸۰ و ۱۲۰ میلی‌متر تبخیر از تشک تبخیر به ترتیب سبب افزایش ۲۶/۲۳، ۲۴/۸۳ و ۱۵/۲۳ درصدی در محتوای نسبی آب برگ گردید (شکل ۱).

کاهش میزان محتوای نسبی آب برگ در اثر تنش خشکی مربوط به انسداد روزنه‌ها و علت انسداد روزنه‌ها را تجمع هورمون آپسزیک اسید بوده، به طوری‌که این هورمون در شرایط تنش خشکی در ریشه ساخته شده و در سلول‌های روزنه‌ای تجمع می‌یابد (Liu et al., 2004). رضایی و همکاران (Rezaei et al., 2012)، در نتایج بررسی‌های خود بر گیاه رازیانه نشان دادند که با افزایش سطح تنش خشکی از ۶۰ میلی‌متر به ۱۵۰ میلی‌متر تبخیر از تشک تبخیر، به طور میانگین ۲۷ درصد از میزان محتوای نسبی آب برگ‌ها کاسته می‌شود. محققان دیگر در بررسی‌های خود نیز نتیجه

$$\text{Chl.b} = (21.21\text{A646.8} - 5.1 \text{A663.2}) [8]$$

$$\text{Car} = (1000\text{A470-1.8 Chl.a-85.02Chl.b})/198 [9]$$

که در این معادلات Chl.b، Chl.a و Car به ترتیب غلظت کلروفیل a، کلروفیل b و کاروتینوئیدها (شامل کاروتون و گرانتوفیل) است.

### تبادلات گازی

به منظور اندازه‌گیری میزان فتوسنتز در واحد سطح برگ (میکرومول  $\text{CO}_2$  در مترمربع در ثانیه) و غلظت  $\text{CO}_2$  زیر روزنها (میکرومول  $\text{CO}_2$  بر مول) از دستگاه فتوسنتز‌متر (IRGA4) مدل LCA4 اندازه‌گیری شد. اندازه‌گیری‌ها در بازه زمانی ۱۲ تا ۱۴ ظهر و بلافاصله بعد از اعمال سطوح مختلف آبیاری صورت گرفت. در هر تیمار صفات موردنظر در برگ‌های شاخه اصلی در شش بوتۀ اندازه‌گیری شد و ثانیه بعد از قرار دادن برگ داخل محفظۀ شیشه‌ای دستگاه اعداد ثبت شد (Siosemardeh, 2004; Fischer et al., 1998).

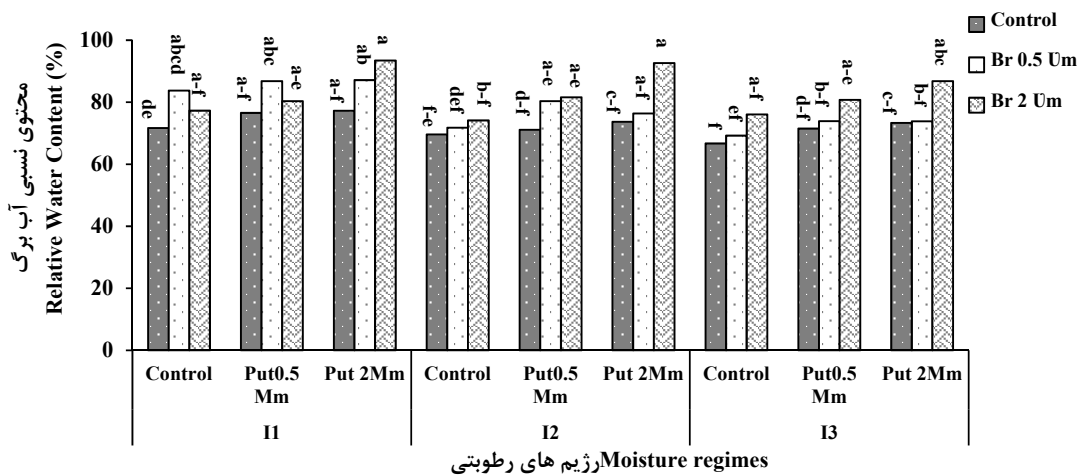
### استخراج اسانس

به منظور تعیین مقدار اسانس گیاه ریحان در مرحله گلدهی، برگ‌ها و سرشاخه‌های گل دار برداشت و در دمای ۲۵ درجه سانتی‌گراد و در شرایط سایه خشک گردید. پس از آسیاب کردن نمونه‌های گیاهی موردنظر، استخراج اسانس توسط دستگاه کلونجر (Celevenger) با روش تقطیر با آب (water distillation) انجام شد. به این منظور ۵۰ گرم نمونه گیاهی پودر شده به دستگاه کلونجر انتقال داده شد. عمل حرارت دهی نمونه‌ها به مدت ۴ ساعت صورت پذیرفت. به علت چسبندگی اسانس به دیواره لوله شیشه‌های اسانس‌گیر، از حلالی به نام دی‌اتیل‌اتر استفاده شده که به راحتی اسانس را در خود حل کرده و خود در اثر حرارت تضعیف شده و اسانس بر جای می‌ماند. روغن اسانس به دست‌آمده توسط سولفات سدیم خشک شد و وزن و مقدار اسانس با ترازوی با دقت ۱۰۰/۰ توزین گردید و با استفاده از رابطه زیر محاسبه گردید (Dastborhan et al., 2011).

$$\text{اسانس} (\%) = 100 \times \frac{\text{وزن خشک ماده اولیه (گرم)}}{\text{وزن اسانس (گرم)}} [10]$$

(Kheiry et al., 2017) خواهد بود. خیری و همکاران (2017) دریافتند که تنش خشکی موجب کاهش محتوای آب نسبی برگ‌های نعناع فلفلی شد ولی کاربرد براسینوئید باعث بهبود محتوای نسبی آب برگ در هر دو شرایط تنش و عدم تنش گردید. نتایج مشابهی از تأثیر خشکی در کاهش محتوای نسبی آب برگ برخی گیاهان دارویی و معطر از قبیل مرزه Amirinejad et al., 2015; Heidari et al., 2014.

به دست آمده از این تحقیق را تأیید می‌کنند (Damayanthi et al., 2010; Heidary et al., 2015; Sabettemouri Rubinowska et al., 2010). روپینسکا و همکاران (2012) عنوان کردند که پلی‌آمین‌ها ممکن است کانال‌های یونی خاصی را تعدیل و نفوذپذیری غشاء به کلسیم افزایش و مقدار این عنصر در سیتوپلاسم بالا رفته که منجر به غیرفعال شدن ورود یکسویه پتاسیم در غشاء پلاسمما گردیده که نتیجه آن تحریک انسداد روزنه و کاهش خروج آب از آن



شکل ۱. اثر پوتریسین و براسینواستروئید بر میزان محتوی نسبی آب برگ ریحان تحت تنش خشکی (Put<sub>0</sub>: عدم محلول پاشی پوتریسین، Put<sub>1</sub>: غلظت ۰/۵ میلی‌مولار محلول پاشی پوتریسین و Put<sub>2</sub>: غلظت ۲ میلی‌مولار محلول پاشی پوتریسین، Br<sub>0</sub>: عدم محلول پاشی براسینواستروئید، Br<sub>1</sub>: غلظت ۰/۵ میکرومولار محلول پاشی براسینواستروئید و Br<sub>2</sub>: غلظت ۰/۵ میکرومولار محلول پاشی براسینواستروئید و I<sub>1</sub>: ۴۰ میلی‌متر تبخیر از تختک تبخیر).

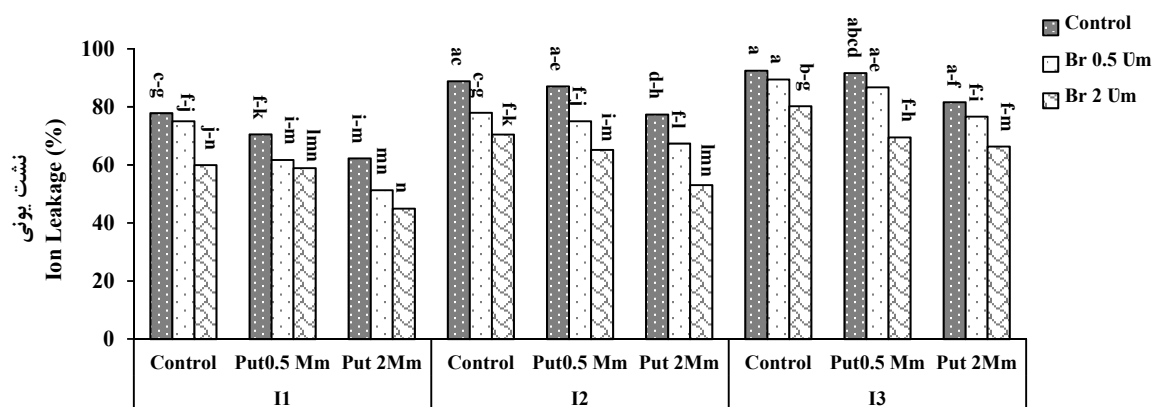
Fig. 1. Effect of putrescine and brassinosteroid on relative water content of basil leaf under drought stress (Put<sub>0</sub>: Non-sprayed putrescine, Put<sub>1</sub>: Concentration of 0.5 mM Puterisine Spray, Put<sub>2</sub>: Concentration of 2 mM Puterisine Spray, Br<sub>0</sub>: Non-sprayed brassinosteroid, Br<sub>1</sub>: Concentration of 0.5 mM brassinosteroid Spray, Br<sub>2</sub>: Concentration of 0.5 mM brassinosteroid Spray, I<sub>1</sub>: 40, I<sub>2</sub>: 80 and I<sub>3</sub>: 120 mm evaporation from evaporation pan).

یکی از اولین ساختارهای سلول گیاهی که در شرایط تنش خشکی آسیب می‌بیند لیپیدهای غشای غشاء پلاسمایی است (Liang et al., 2003)، در نتیجه افزایش برخی ترکیبات فعال اکسیژن از قبیل رادیکال‌های سوپر اکسید، پراکسید هیدروژن و رادیکال‌های هیدروکسیل، غشای سلولی در گیاهان تحت تنش آسیب دیده و الکتروولیتها به بیرون از سلول تراویش می‌کند و این باعث می‌شود که لایه درون سلول بار منفی پیدا کند (Blume et al., 1981). افزایش ترکیبات فعال اکسیژن به بسیاری از ساختارها و اجزای سلول نظیر چربی‌ها، پروتئین‌ها، کربوهیدرات‌ها و

نشست یونی در این پژوهش اثرات سه عامله تنش خشکی × پوتریسین × براسینواستروئید بر میزان نشت یونی معنی‌دار ( $P < 0.01$ ) گردید (جدول ۳). غلظت ۲ میلی‌مولار پوتریسین به همراه ۰/۵ میکرومولار براسینواستروئید نسبت به تیمار عدم کاربرد پوتریسین و براسینواستروئید (شاهد) در شرایط عدم تنش خشکی، تنش خشکی متوسط و تنش خشکی شدید به ترتیب سبب کاهش ۳۱/۹۴ و ۲۳/۳۵ درصدی نشت یونی گردید (شکل ۲).

کاربرد پوتریسین و براسینواستروئید تأثیر مثبت و بهبوددهنده‌ای در کاهش میزان نشت مواد محلول از غشاء داشت که کاهش خسارت به غشاء در استفاده از پوتریسین و براسینواستروئید را می‌توان به عنوان راهکاری برای افزایش مقاومت به خشکی در گیاهان دانست که ممکن است با تولید ترکیبات آنتی‌اکسیدانی برای کاهش خسارت نتش اکسیداتیو همراه باشد.

اسیدهای نوکلئیک صدمه می‌زنند و با تغییر ساختار غشاء در اثر پراکسیداسیون چربی‌ها و پروتئین‌ها (Liang et al., 2003) تراوایی غشاء سلولی را افزایش می‌دهند که منجر به نشت الکترولیت‌های موجود در داخل سلول به سمت بیرون می‌شود و در نتیجه رشد گیاه تحت تأثیر قرار می‌گیرد (Blume et al., 2011).



رژیم‌های رطوبتی Moisture regimes

شکل ۲. اثر پوتریسین و براسینو استروئید بر میزان نشت یونی برگ ریحان تحت نتش خشکی Put<sub>0</sub>: عدم محلول پاشی پوتریسین، Put<sub>1</sub>: غلظت ۰/۵ میلی‌مولار محلول پاشی پوتریسین و Put<sub>2</sub>: غلظت ۲ میلی‌مولار محلول پاشی پوتریسین، Br<sub>0</sub>: عدم محلول پاشی براسینو استروئید، Br<sub>1</sub>: غلظت ۰/۵ میکرومولار محلول پاشی براسینو استروئید و Br<sub>2</sub>: غلظت ۰/۵ میکرومولار محلول پاشی براسینو استروئید و I<sub>1</sub>: ۴۰، I<sub>2</sub>: ۸۰ و I<sub>3</sub>: ۱۲۰ میلی‌متر تبخیر از نشتک تبخیر).

Fig. 2. Effect of putrescine and brassinosteroid on ion leakage content of basil leaf under drought stress (Put<sub>0</sub>: Non-sprayed putrescine, Put<sub>1</sub>: Concentration of 0.5 mM Puterisine Spray, Put<sub>2</sub>: Concentration of 2 mM Puterisine Spray, Br<sub>0</sub>: Non-sprayed brassinosteroid, Br<sub>1</sub>: Concentration of 0.5 mM brassinosteroid Spray, Br<sub>2</sub>: Concentration of 0.5 mM brassinosteroid Spray, I<sub>1</sub>: 40, I<sub>2</sub>: 80 and I<sub>3</sub>: 120 mm evaporation from evaporation pan).

باعث افزایش بیشتر محتوای کلروفیل شد. مطابق شکل ۳ و ۴ اثرات متقابل نتش خشکی، پوتریسین و براسینو استروئید، بیشترین و کمترین میزان کلروفیل a به ترتیب در نتش خشکی شدید، محلول پاشی ۲ میلی‌مولار پوتریسین، ۲ میکرومولار براسینو استروئید و تیمار عدم نتش خشکی و عدم محلول پاشی مشاهده شد. غلظت ۰/۵ میلی‌مولار پوتریسین به همراه ۰/۵ میکرومولار براسینو استروئید نسبت به تیمار عدم کاربرد پوتریسین و براسینو استروئید (شاهد) در شرایط ۴۰، ۸۰ و ۱۲۰ میلی‌متر تبخیر از نشتک تبخیر به ترتیب سبب ۷۴/۰۶، ۶۱/۴۷، ۶۲/۱۶ درصد افزایش میزان کلروفیل

کاهش نشت یونی در تیمار ۲۴-۱ پی براسینولید به دلیل حفظ لیپیدهای غشاء از خسارت القاء شده به وسیله رادیکال-های آزاد اکسیژن است و احتمالاً افزایش تولید و فعالیت آنزیم‌ها و پروتئین‌های دفاعی در حفاظت ساختمان کلروپلاست، دستگاه فتوسنترزی و کاهش نتش اکسیداتیو حاصل از نتش کم‌آبی نقش دارد (Ozdamir et al., 2004).

### رنگیزه‌های فتوسنترزی

میزان کلروفیل a و b گیاه ریحان تحت برهمنکنش نتش خشکی × پوتریسین × براسینو استروئید معنی دار ( $P < 0.01$ ) شد (جدول ۳). محلول پاشی پوتریسین و براسینو استروئید

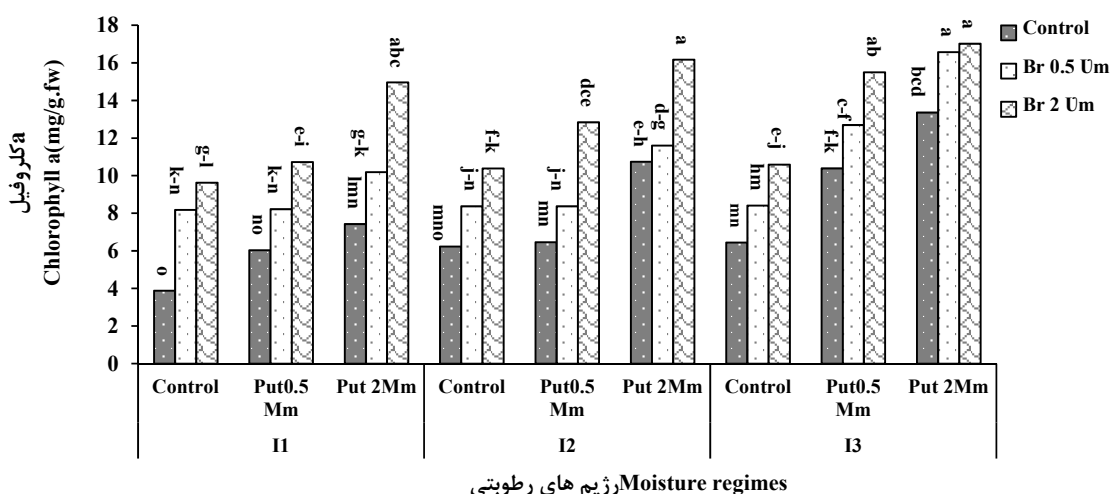
کو亨 و همکاران (Cohen et al., 2004) که نشان دادند پلی‌آمین‌ها از تخریب کلروفیل در شرایط تنش‌زا جلوگیری می‌کنند همسو است. این اثرات می‌تواند به اثرات آنتی-اکسیدانی پلی‌آمین‌ها نیز مرتبط باشد به نظر می‌رسد در این پژوهش نیز پوتریسین با نقش آنتی‌اکسیدانی خود موجب ثبات غشای تیلاکوئیدی و حفظ پروتئین‌ها و لیپیدهای آن در مقابل تنش اکسیداتیو ناشی از تنش خشکی گشت که نتیجه آن حفظ کلروفیل a و کلروفیل b شد. افزایش رنگیزه‌های فتوستنتزی براثر محلول‌پاشی با براسینواستروئید احتمالاً به دلیل بیان ژن‌های ویژه سنتر آنزیم‌های مؤثر بر تولید کلروفیل باشد (Hayat et al., 2012).

احتمالاً براسینواستروئید به دلیل تولید تنظیم‌کننده‌های اسمزی موجب دوام جذب آب از خاک به ریشه و در نتیجه حفظ آماس سلولی گردیده و درنتیجه منجر به تحریک رشد و تقسیم سلولی می‌شود زیرا لازمه تقسیم و خصوصاً بزرگ شدن سلول‌ها آماس سلول است. نتایج مشابهی توسط Ahmadi Mousavi et al., (2015) گزارش شده است.

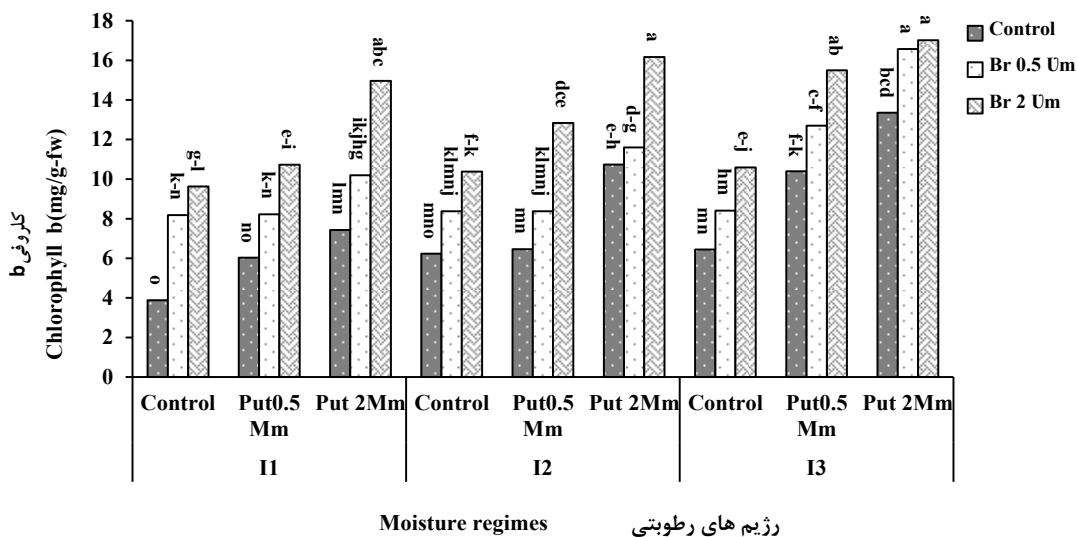
a و ۶۴/۰۷ و ۳۳/۹۶ و ۶۸/۶۸ درصد افزایش کلروفیل b برگ ریحان شد (شکل ۳ و ۴).

تشهای خشکی موجب افزایش میزان کلروفیل a و کلروفیل b شد که با نتایج تحقیقات پژوهشگران دیگر (Baker and Musgrave, 1964; Gratani and Varone, 2004) در تضاد است و با یافته‌های لی و همکاران (Li et al., 2011) مطابقت دارد. محققان مذکور نیز گزارش کردند در شرایط تنش‌های محیطی محتوای کارتنوئیدها به طور معنی‌دار افزایش پیدا می‌کند و نقش محافظتی برای کلروفیل‌ها دارند و از تجزیه کلروفیل‌ها مخصوصاً در تنش شدید خشکی و نوری جلوگیری می‌کنند.

چاپمن و بارتون (Chapman and Barreto, 1997) اظهار داشتند که میزان کلروفیل تحت تأثیر ضخامت برگ گیاه تغییر می‌کند لذا شاید بتوان افزایش کلروفیل در آبیاری کم را، به اختلافات موجود در بین ییمارها از نظر ضخامت برگ مرتبه دانست. تایز و زایگر (Taiz and Zeiger, 2001) بیان کردند افزایش مقدار کلروفیل در اثر تنش خشکی به دلیل افزایش وزن مخصوص برگ است. نتایج این پژوهش با نتایج



شکل ۳. اثر پوتریسین و براسینواستروئید بر میزان کلروفیل a برگ ریحان تحت تنش خشکی: Put<sub>0</sub>: عدم محلول‌پاشی پوتریسین، Put<sub>1</sub>: غلظت ۰/۵ میلی‌مولار محلول‌پاشی پوتریسین و Put<sub>2</sub>: غلظت ۲ میلی‌مولار محلول‌پاشی پوتریسین، Br<sub>0</sub>: عدم محلول‌پاشی براسینواستروئید، Br<sub>1</sub>: غلظت ۰/۵ میکرومولار محلول‌پاشی براسینواستروئید و Br<sub>2</sub>: غلظت ۲ میکرومولار محلول‌پاشی براسینواستروئید. a: ۱۱۰؛ b: ۱۲۰؛ c: ۱۳۰؛ d: ۱۴۰؛ e: ۱۵۰؛ f: ۱۶۰؛ g: ۱۷۰؛ h: ۱۸۰؛ i: ۱۹۰؛ j: ۲۰۰؛ k: ۲۱۰؛ l: ۲۲۰؛ m: ۲۳۰؛ n: ۲۴۰؛ o: ۲۵۰؛ p: ۲۶۰؛ q: ۲۷۰؛ r: ۲۸۰؛ s: ۲۹۰؛ t: ۳۰۰؛ u: ۳۱۰؛ v: ۳۲۰؛ w: ۳۳۰؛ x: ۳۴۰؛ y: ۳۵۰؛ z: ۳۶۰؛ aa: ۳۷۰؛ bb: ۳۸۰؛ cc: ۳۹۰؛ dd: ۴۰۰؛ ee: ۴۱۰؛ ff: ۴۲۰؛ gg: ۴۳۰؛ hh: ۴۴۰؛ ii: ۴۵۰؛ jj: ۴۶۰؛ kk: ۴۷۰؛ ll: ۴۸۰؛ mm: ۴۹۰؛ nn: ۵۰۰؛ oo: ۵۱۰؛ pp: ۵۲۰؛ rr: ۵۳۰؛ ss: ۵۴۰؛ tt: ۵۵۰؛ uu: ۵۶۰؛ vv: ۵۷۰؛ ww: ۵۸۰؛ xx: ۵۹۰؛ yy: ۶۰۰؛ zz: ۶۱۰؛ aa: ۶۲۰؛ bb: ۶۳۰؛ cc: ۶۴۰؛ dd: ۶۵۰؛ ee: ۶۶۰؛ ff: ۶۷۰؛ gg: ۶۸۰؛ hh: ۶۹۰؛ ii: ۷۰۰؛ jj: ۷۱۰؛ kk: ۷۲۰؛ ll: ۷۳۰؛ mm: ۷۴۰؛ nn: ۷۵۰؛ oo: ۷۶۰؛ pp: ۷۷۰؛ rr: ۷۸۰؛ ss: ۷۹۰؛ tt: ۸۰۰؛ uu: ۸۱۰؛ vv: ۸۲۰؛ ww: ۸۳۰؛ xx: ۸۴۰؛ yy: ۸۵۰؛ zz: ۸۶۰؛ aa: ۸۷۰؛ bb: ۸۸۰؛ cc: ۸۹۰؛ dd: ۹۰۰؛ ee: ۹۱۰؛ ff: ۹۲۰؛ gg: ۹۳۰؛ hh: ۹۴۰؛ ii: ۹۵۰؛ jj: ۹۶۰؛ kk: ۹۷۰؛ ll: ۹۸۰؛ mm: ۹۹۰؛ nn: ۱۰۰۰؛ oo: ۱۰۱۰؛ pp: ۱۰۲۰؛ rr: ۱۰۳۰؛ ss: ۱۰۴۰؛ tt: ۱۰۵۰؛ uu: ۱۰۶۰؛ vv: ۱۰۷۰؛ ww: ۱۰۸۰؛ xx: ۱۰۹۰؛ yy: ۱۱۰۰؛ zz: ۱۱۱۰؛ aa: ۱۱۲۰؛ bb: ۱۱۳۰؛ cc: ۱۱۴۰؛ dd: ۱۱۵۰؛ ee: ۱۱۶۰؛ ff: ۱۱۷۰؛ gg: ۱۱۸۰؛ hh: ۱۱۹۰؛ ii: ۱۲۰۰؛ jj: ۱۲۱۰؛ kk: ۱۲۲۰؛ ll: ۱۲۳۰؛ mm: ۱۲۴۰؛ nn: ۱۲۵۰؛ oo: ۱۲۶۰؛ pp: ۱۲۷۰؛ rr: ۱۲۸۰؛ ss: ۱۲۹۰؛ tt: ۱۳۰۰؛ uu: ۱۳۱۰؛ vv: ۱۳۲۰؛ ww: ۱۳۳۰؛ xx: ۱۳۴۰؛ yy: ۱۳۵۰؛ zz: ۱۳۶۰؛ aa: ۱۳۷۰؛ bb: ۱۳۸۰؛ cc: ۱۳۹۰؛ dd: ۱۴۰۰؛ ee: ۱۴۱۰؛ ff: ۱۴۲۰؛ gg: ۱۴۳۰؛ hh: ۱۴۴۰؛ ii: ۱۴۵۰؛ jj: ۱۴۶۰؛ kk: ۱۴۷۰؛ ll: ۱۴۸۰؛ mm: ۱۴۹۰؛ nn: ۱۵۰۰؛ oo: ۱۵۱۰؛ pp: ۱۵۲۰؛ rr: ۱۵۳۰؛ ss: ۱۵۴۰؛ tt: ۱۵۵۰؛ uu: ۱۵۶۰؛ vv: ۱۵۷۰؛ ww: ۱۵۸۰؛ xx: ۱۵۹۰؛ yy: ۱۶۰۰؛ zz: ۱۶۱۰؛ aa: ۱۶۲۰؛ bb: ۱۶۳۰؛ cc: ۱۶۴۰؛ dd: ۱۶۵۰؛ ee: ۱۶۶۰؛ ff: ۱۶۷۰؛ gg: ۱۶۸۰؛ hh: ۱۶۹۰؛ ii: ۱۷۰۰؛ jj: ۱۷۱۰؛ kk: ۱۷۲۰؛ ll: ۱۷۳۰؛ mm: ۱۷۴۰؛ nn: ۱۷۵۰؛ oo: ۱۷۶۰؛ pp: ۱۷۷۰؛ rr: ۱۷۸۰؛ ss: ۱۷۹۰؛ tt: ۱۸۰۰؛ uu: ۱۸۱۰؛ vv: ۱۸۲۰؛ ww: ۱۸۳۰؛ xx: ۱۸۴۰؛ yy: ۱۸۵۰؛ zz: ۱۸۶۰؛ aa: ۱۸۷۰؛ bb: ۱۸۸۰؛ cc: ۱۸۹۰؛ dd: ۱۹۰۰؛ ee: ۱۹۱۰؛ ff: ۱۹۲۰؛ gg: ۱۹۳۰؛ hh: ۱۹۴۰؛ ii: ۱۹۵۰؛ jj: ۱۹۶۰؛ kk: ۱۹۷۰؛ ll: ۱۹۸۰؛ mm: ۱۹۹۰؛ nn: ۲۰۰۰؛ oo: ۲۰۱۰؛ pp: ۲۰۲۰؛ rr: ۲۰۳۰؛ ss: ۲۰۴۰؛ tt: ۲۰۵۰؛ uu: ۲۰۶۰؛ vv: ۲۰۷۰؛ ww: ۲۰۸۰؛ xx: ۲۰۹۰؛ yy: ۲۱۰۰؛ zz: ۲۱۱۰؛ aa: ۲۱۲۰؛ bb: ۲۱۳۰؛ cc: ۲۱۴۰؛ dd: ۲۱۵۰؛ ee: ۲۱۶۰؛ ff: ۲۱۷۰؛ gg: ۲۱۸۰؛ hh: ۲۱۹۰؛ ii: ۲۲۰۰؛ jj: ۲۲۱۰؛ kk: ۲۲۲۰؛ ll: ۲۲۳۰؛ mm: ۲۲۴۰؛ nn: ۲۲۵۰؛ oo: ۲۲۶۰؛ pp: ۲۲۷۰؛ rr: ۲۲۸۰؛ ss: ۲۲۹۰؛ tt: ۲۳۰۰؛ uu: ۲۳۱۰؛ vv: ۲۳۲۰؛ ww: ۲۳۳۰؛ xx: ۲۳۴۰؛ yy: ۲۳۵۰؛ zz: ۲۳۶۰؛ aa: ۲۳۷۰؛ bb: ۲۳۸۰؛ cc: ۲۳۹۰؛ dd: ۲۴۰۰؛ ee: ۲۴۱۰؛ ff: ۲۴۲۰؛ gg: ۲۴۳۰؛ hh: ۲۴۴۰؛ ii: ۲۴۵۰؛ jj: ۲۴۶۰؛ kk: ۲۴۷۰؛ ll: ۲۴۸۰؛ mm: ۲۴۹۰؛ nn: ۲۵۰۰؛ oo: ۲۵۱۰؛ pp: ۲۵۲۰؛ rr: ۲۵۳۰؛ ss: ۲۵۴۰؛ tt: ۲۵۵۰؛ uu: ۲۵۶۰؛ vv: ۲۵۷۰؛ ww: ۲۵۸۰؛ xx: ۲۵۹۰؛ yy: ۲۶۰۰؛ zz: ۲۶۱۰؛ aa: ۲۶۲۰؛ bb: ۲۶۳۰؛ cc: ۲۶۴۰؛ dd: ۲۶۵۰؛ ee: ۲۶۶۰؛ ff: ۲۶۷۰؛ gg: ۲۶۸۰؛ hh: ۲۶۹۰؛ ii: ۲۷۰۰؛ jj: ۲۷۱۰؛ kk: ۲۷۲۰؛ ll: ۲۷۳۰؛ mm: ۲۷۴۰؛ nn: ۲۷۵۰؛ oo: ۲۷۶۰؛ pp: ۲۷۷۰؛ rr: ۲۷۸۰؛ ss: ۲۷۹۰؛ tt: ۲۸۰۰؛ uu: ۲۸۱۰؛ vv: ۲۸۲۰؛ ww: ۲۸۳۰؛ xx: ۲۸۴۰؛ yy: ۲۸۵۰؛ zz: ۲۸۶۰؛ aa: ۲۸۷۰؛ bb: ۲۸۸۰؛ cc: ۲۸۹۰؛ dd: ۲۹۰۰؛ ee: ۲۹۱۰؛ ff: ۲۹۲۰؛ gg: ۲۹۳۰؛ hh: ۲۹۴۰؛ ii: ۲۹۵۰؛ jj: ۲۹۶۰؛ kk: ۲۹۷۰؛ ll: ۲۹۸۰؛ mm: ۲۹۹۰؛ nn: ۳۰۰۰؛ oo: ۳۰۱۰؛ pp: ۳۰۲۰؛ rr: ۳۰۳۰؛ ss: ۳۰۴۰؛ tt: ۳۰۵۰؛ uu: ۳۰۶۰؛ vv: ۳۰۷۰؛ ww: ۳۰۸۰؛ xx: ۳۰۹۰؛ yy: ۳۱۰۰؛ zz: ۳۱۱۰؛ aa: ۳۱۲۰؛ bb: ۳۱۳۰؛ cc: ۳۱۴۰؛ dd: ۳۱۵۰؛ ee: ۳۱۶۰؛ ff: ۳۱۷۰؛ gg: ۳۱۸۰؛ hh: ۳۱۹۰؛ ii: ۳۲۰۰؛ jj: ۳۲۱۰؛ kk: ۳۲۲۰؛ ll: ۳۲۳۰؛ mm: ۳۲۴۰؛ nn: ۳۲۵۰؛ oo: ۳۲۶۰؛ pp: ۳۲۷۰؛ rr: ۳۲۸۰؛ ss: ۳۲۹۰؛ tt: ۳۳۰۰؛ uu: ۳۳۱۰؛ vv: ۳۳۲۰؛ ww: ۳۳۳۰؛ xx: ۳۳۴۰؛ yy: ۳۳۵۰؛ zz: ۳۳۶۰؛ aa: ۳۳۷۰؛ bb: ۳۳۸۰؛ cc: ۳۳۹۰؛ dd: ۳۴۰۰؛ ee: ۳۴۱۰؛ ff: ۳۴۲۰؛ gg: ۳۴۳۰؛ hh: ۳۴۴۰؛ ii: ۳۴۵۰؛ jj: ۳۴۶۰؛ kk: ۳۴۷۰؛ ll: ۳۴۸۰؛ mm: ۳۴۹۰؛ nn: ۳۵۰۰؛ oo: ۳۵۱۰؛ pp: ۳۵۲۰؛ rr: ۳۵۳۰؛ ss: ۳۵۴۰؛ tt: ۳۵۵۰؛ uu: ۳۵۶۰؛ vv: ۳۵۷۰؛ ww: ۳۵۸۰؛ xx: ۳۵۹۰؛ yy: ۳۶۰۰؛ zz: ۳۶۱۰؛ aa: ۳۶۲۰؛ bb: ۳۶۳۰؛ cc: ۳۶۴۰؛ dd: ۳۶۵۰؛ ee: ۳۶۶۰؛ ff: ۳۶۷۰؛ gg: ۳۶۸۰؛ hh: ۳۶۹۰؛ ii: ۳۷۰۰؛ jj: ۳۷۱۰؛ kk: ۳۷۲۰؛ ll: ۳۷۳۰؛ mm: ۳۷۴۰؛ nn: ۳۷۵۰؛ oo: ۳۷۶۰؛ pp: ۳۷۷۰؛ rr: ۳۷۸۰؛ ss: ۳۷۹۰؛ tt: ۳۸۰۰؛ uu: ۳۸۱۰؛ vv: ۳۸۲۰؛ ww: ۳۸۳۰؛ xx: ۳۸۴۰؛ yy: ۳۸۵۰؛ zz: ۳۸۶۰؛ aa: ۳۸۷۰؛ bb: ۳۸۸۰؛ cc: ۳۸۹۰؛ dd: ۳۹۰۰؛ ee: ۳۹۱۰؛ ff: ۳۹۲۰؛ gg: ۳۹۳۰؛ hh: ۳۹۴۰؛ ii: ۳۹۵۰؛ jj: ۳۹۶۰؛ kk: ۳۹۷۰؛ ll: ۳۹۸۰؛ mm: ۳۹۹۰؛ nn: ۴۰۰۰؛ oo: ۴۰۱۰؛ pp: ۴۰۲۰؛ rr: ۴۰۳۰؛ ss: ۴۰۴۰؛ tt: ۴۰۵۰؛ uu: ۴۰۶۰؛ vv: ۴۰۷۰؛ ww: ۴۰۸۰؛ xx: ۴۰۹۰؛ yy: ۴۱۰۰؛ zz: ۴۱۱۰؛ aa: ۴۱۲۰؛ bb: ۴۱۳۰؛ cc: ۴۱۴۰؛ dd: ۴۱۵۰؛ ee: ۴۱۶۰؛ ff: ۴۱۷۰؛ gg: ۴۱۸۰؛ hh: ۴۱۹۰؛ ii: ۴۲۰۰؛ jj: ۴۲۱۰؛ kk: ۴۲۲۰؛ ll: ۴۲۳۰؛ mm: ۴۲۴۰؛ nn: ۴۲۵۰؛ oo: ۴۲۶۰؛ pp: ۴۲۷۰؛ rr: ۴۲۸۰؛ ss: ۴۲۹۰؛ tt: ۴۳۰۰؛ uu: ۴۳۱۰؛ vv: ۴۳۲۰؛ ww: ۴۳۳۰؛ xx: ۴۳۴۰؛ yy: ۴۳۵۰؛ zz: ۴۳۶۰؛ aa: ۴۳۷۰؛ bb: ۴۳۸۰؛ cc: ۴۳۹۰؛ dd: ۴۴۰۰؛ ee: ۴۴۱۰؛ ff: ۴۴۲۰؛ gg: ۴۴۳۰؛ hh: ۴۴۴۰؛ ii: ۴۴۵۰؛ jj: ۴۴۶۰؛ kk: ۴۴۷۰؛ ll: ۴۴۸۰؛ mm: ۴۴۹۰؛ nn: ۴۵۰۰؛ oo: ۴۵۱۰؛ pp: ۴۵۲۰؛ rr: ۴۵۳۰؛ ss: ۴۵۴۰؛ tt: ۴۵۵۰؛ uu: ۴۵۶۰؛ vv: ۴۵۷۰؛ ww: ۴۵۸۰؛ xx: ۴۵۹۰؛ yy: ۴۶۰۰؛ zz: ۴۶۱۰؛ aa: ۴۶۲۰؛ bb: ۴۶۳۰؛ cc: ۴۶۴۰؛ dd: ۴۶۵۰؛ ee: ۴۶۶۰؛ ff: ۴۶۷۰؛ gg: ۴۶۸۰؛ hh: ۴۶۹۰؛ ii: ۴۷۰۰؛ jj: ۴۷۱۰؛ kk: ۴۷۲۰؛ ll: ۴۷۳۰؛ mm: ۴۷۴۰؛ nn: ۴۷۵۰؛ oo: ۴۷۶۰؛ pp: ۴۷۷۰؛ rr: ۴۷۸۰؛ ss: ۴۷۹۰؛ tt: ۴۸۰۰؛ uu: ۴۸۱۰؛ vv: ۴۸۲۰؛ ww: ۴۸۳۰؛ xx: ۴۸۴۰؛ yy: ۴۸۵۰؛ zz: ۴۸۶۰؛ aa: ۴۸۷۰؛ bb: ۴۸۸۰؛ cc: ۴۸۹۰؛ dd: ۴۹۰۰؛ ee: ۴۹۱۰؛ ff: ۴۹۲۰؛ gg: ۴۹۳۰؛ hh: ۴۹۴۰؛ ii: ۴۹۵۰؛ jj: ۴۹۶۰؛ kk: ۴۹۷۰؛ ll: ۴۹۸۰؛ mm: ۴۹۹۰؛ nn: ۵۰۰۰؛ oo: ۵۰۱۰؛ pp: ۵۰۲۰؛ rr: ۵۰۳۰؛ ss: ۵۰۴۰؛ tt: ۵۰۵۰؛ uu: ۵۰۶۰؛ vv: ۵۰۷۰؛ ww: ۵۰۸۰؛ xx: ۵۰۹۰؛ yy: ۵۱۰۰؛ zz: ۵۱۱۰؛ aa: ۵۱۲۰؛ bb: ۵۱۳۰؛ cc: ۵۱۴۰؛ dd: ۵۱۵۰؛ ee: ۵۱۶۰؛ ff: ۵۱۷۰؛ gg: ۵۱۸۰؛ hh: ۵۱۹۰؛ ii: ۵۲۰۰؛ jj: ۵۲۱۰؛ kk: ۵۲۲۰؛ ll: ۵۲۳۰؛ mm: ۵۲۴۰؛ nn: ۵۲۵۰؛ oo: ۵۲۶۰؛ pp: ۵۲۷۰؛ rr: ۵۲۸۰؛ ss: ۵۲۹۰؛ tt: ۵۳۰۰؛ uu: ۵۳۱۰؛ vv: ۵۳۲۰؛ ww: ۵۳۳۰؛ xx: ۵۳۴۰؛ yy: ۵۳۵۰؛ zz: ۵۳۶۰؛ aa: ۵۳۷۰؛ bb: ۵۳۸۰؛ cc: ۵۳۹۰؛ dd: ۵۴۰۰؛ ee: ۵۴۱۰؛ ff: ۵۴۲۰؛ gg: ۵۴۳۰؛ hh: ۵۴۴۰؛ ii: ۵۴۵۰؛ jj: ۵۴۶۰؛ kk: ۵۴۷۰؛ ll: ۵۴۸۰؛ mm: ۵۴۹۰؛ nn: ۵۵۰۰؛ oo: ۵۵۱۰؛ pp: ۵۵۲۰؛ rr: ۵۵۳۰؛ ss: ۵۵۴۰؛ tt: ۵۵۵۰؛ uu: ۵۵۶۰؛ vv: ۵۵۷۰؛ ww: ۵۵۸۰؛ xx: ۵۵۹۰؛ yy: ۵۶۰۰؛ zz: ۵۶۱۰؛ aa: ۵۶۲۰؛ bb: ۵۶۳۰؛ cc: ۵۶۴۰؛ dd: ۵۶۵۰؛ ee: ۵۶۶۰؛ ff: ۵۶۷۰؛ gg: ۵۶۸۰؛ hh: ۵۶۹۰؛ ii: ۵۷۰۰؛ jj: ۵۷۱۰؛ kk: ۵۷۲۰؛ ll: ۵۷۳۰؛ mm: ۵۷۴۰؛ nn: ۵۷۵۰؛ oo: ۵۷۶۰؛ pp: ۵۷۷۰؛ rr: ۵۷۸۰؛ ss: ۵۷۹۰؛ tt: ۵۸۰۰؛ uu: ۵۸۱۰؛ vv: ۵۸۲۰؛ ww: ۵۸۳۰؛ xx: ۵۸۴۰؛ yy: ۵۸۵۰؛ zz: ۵۸۶۰؛ aa: ۵۸۷۰؛ bb: ۵۸۸۰؛ cc: ۵۸۹۰؛ dd: ۵۹۰۰؛ ee: ۵۹۱۰؛ ff: ۵۹۲۰؛ gg: ۵۹۳۰؛ hh: ۵۹۴۰؛ ii: ۵۹۵۰؛ jj: ۵۹۶۰؛ kk: ۵۹۷۰؛ ll: ۵۹۸۰؛ mm: ۵۹۹۰؛ nn: ۶۰۰۰؛ oo: ۶۰۱۰؛ pp: ۶۰۲۰؛ rr: ۶۰۳۰؛ ss: ۶۰۴۰؛ tt: ۶۰۵۰؛ uu: ۶۰۶۰؛ vv: ۶۰۷۰؛ ww: ۶۰۸۰؛ xx: ۶۰۹۰؛ yy: ۶۱۰۰؛ zz: ۶۱۱۰؛ aa: ۶۱۲۰؛ bb: ۶۱۳۰؛ cc: ۶۱۴۰؛ dd: ۶۱۵۰؛ ee: ۶۱۶۰؛ ff: ۶۱۷۰؛ gg: ۶۱۸۰؛ hh: ۶۱۹۰؛ ii: ۶۲۰۰؛ jj: ۶۲۱۰؛ kk: ۶۲۲۰؛ ll: ۶۲۳۰؛ mm: ۶۲۴۰؛ nn: ۶۲۵۰؛ oo: ۶۲۶۰؛ pp: ۶۲۷۰؛ rr: ۶۲۸۰؛ ss: ۶۲۹۰؛ tt: ۶۳۰۰؛ uu: ۶۳۱۰؛ vv: ۶۳۲۰؛ ww: ۶۳۳۰؛ xx: ۶۳۴۰؛ yy: ۶۳۵۰؛ zz: ۶۳۶۰؛ aa: ۶۳۷۰؛ bb: ۶۳۸۰؛ cc: ۶۳۹۰؛ dd: ۶۴۰۰؛ ee: ۶۴۱۰؛ ff: ۶۴۲۰؛ gg: ۶۴۳۰؛ hh: ۶۴۴۰؛ ii: ۶۴۵۰؛ jj: ۶۴۶۰؛ kk: ۶۴۷۰؛ ll: ۶۴۸۰؛ mm: ۶۴۹۰؛ nn: ۶۵۰۰؛ oo: ۶۵۱۰؛ pp: ۶۵۲۰؛ rr: ۶۵۳۰؛ ss: ۶۵۴۰؛ tt: ۶۵۵۰؛ uu: ۶۵۶۰؛ vv: ۶۵۷۰؛ ww: ۶۵۸۰؛ xx: ۶۵۹۰؛ yy: ۶۶۰۰؛ zz: ۶۶۱۰؛ aa: ۶۶۲۰؛ bb: ۶۶۳۰؛ cc: ۶۶۴۰؛ dd: ۶۶۵۰؛ ee: ۶۶۶۰؛ ff: ۶۶۷۰؛ gg: ۶۶۸۰؛ hh: ۶۶۹۰؛ ii: ۶۷۰۰؛ jj: ۶۷۱۰؛ kk: ۶۷۲۰؛ ll: ۶۷۳۰؛ mm: ۶۷۴۰؛ nn: ۶۷۵۰؛ oo: ۶۷۶۰؛ pp: ۶۷۷۰؛ rr: ۶۷۸۰؛ ss: ۶۷۹۰؛ tt: ۶۸۰۰؛ uu: ۶۸۱۰؛ vv: ۶۸۲۰؛ ww: ۶۸۳۰؛ xx: ۶۸۴۰؛ yy: ۶۸۵۰؛ zz: ۶۸۶۰؛ aa: ۶۸۷۰؛ bb: ۶۸۸۰؛ cc: ۶۸۹۰؛ dd: ۶۹۰۰؛ ee: ۶۹۱۰؛ ff: ۶۹۲۰؛ gg: ۶۹۳۰؛ hh: ۶۹۴۰؛ ii: ۶۹۵۰؛ jj: ۶۹۶۰؛ kk: ۶۹۷۰؛ ll: ۶۹۸۰؛ mm: ۶۹۹۰؛ nn: ۷۰۰۰؛ oo: ۷۰۱۰؛ pp: ۷۰۲۰؛ rr: ۷۰۳۰؛ ss: ۷۰۴۰؛ tt: ۷۰۵۰؛ uu: ۷۰۶۰؛ vv: ۷۰۷۰؛ ww: ۷۰۸۰؛ xx: ۷۰۹۰؛ yy: ۷۱۰۰؛ zz: ۷۱۱۰؛ aa: ۷۱۲۰؛ bb: ۷۱۳۰؛ cc: ۷۱۴۰؛ dd: ۷۱۵۰؛ ee: ۷۱۶۰؛ ff: ۷۱۷۰؛ gg: ۷۱۸۰؛ hh: ۷۱۹۰؛ ii: ۷۲۰۰؛ jj: ۷۲۱۰؛ kk: ۷۲۲۰؛ ll: ۷۲۳۰؛ mm: ۷۲۴۰؛ nn: ۷۲۵۰؛ oo: ۷۲۶۰؛ pp: ۷۲۷۰؛ rr: ۷۲۸۰؛ ss: ۷۲۹۰؛ tt: ۷۳۰۰؛ uu: ۷۳۱۰؛ vv: ۷۳۲۰؛ ww: ۷۳۳۰؛ xx: ۷۳۴۰؛ yy: ۷۳۵۰؛ zz: ۷۳۶۰؛ aa: ۷۳۷۰؛ bb: ۷۳۸۰؛ cc: ۷۳۹۰؛ dd: ۷۴۰۰؛ ee: ۷۴۱۰؛ ff: ۷۴۲۰؛ gg: ۷۴۳۰؛ hh: ۷۴۴۰؛ ii: ۷۴۵۰؛ jj: ۷۴۶۰؛ kk: ۷۴۷۰؛ ll: ۷۴۸۰؛ mm: ۷۴۹۰؛ nn: ۷۵۰۰؛ oo: ۷۵۱۰؛ pp: ۷۵۲۰؛ rr: ۷۵۳۰؛ ss: ۷۵۴۰؛ tt: ۷۵۵۰؛ uu: ۷۵۶۰؛ vv: ۷۵۷۰؛ ww: ۷۵۸۰؛ xx: ۷۵۹۰؛ yy: ۷۶۰۰؛ zz: ۷۶۱۰؛ aa: ۷۶۲۰؛ bb: ۷۶۳۰؛ cc: ۷۶۴۰؛ dd: ۷۶۵۰؛ ee: ۷۶۶۰؛ ff: ۷۶۷۰؛ gg: ۷۶۸۰؛ hh: ۷۶۹۰؛ ii: ۷۷۰۰؛ jj: ۷۷۱۰؛ kk: ۷۷۲۰؛ ll: ۷۷۳۰؛ mm: ۷۷۴۰؛ nn: ۷۷۵۰؛ oo: ۷۷۶۰؛ pp: ۷۷۷۰؛ rr: ۷۷۸۰؛ ss: ۷۷۹۰؛ tt: ۷۸۰۰؛ uu: ۷۸۱۰؛ vv: ۷۸۲۰؛ ww: ۷۸۳۰؛ xx: ۷۸۴۰؛ yy: ۷۸۵۰؛ zz: ۷۸۶۰؛ aa: ۷۸۷۰؛ bb: ۷۸۸۰؛ cc: ۷۸۹۰؛ dd: ۷۹۰۰؛ ee: ۷۹۱۰؛ ff: ۷۹۲۰؛ gg: ۷۹۳۰؛ hh: ۷۹۴۰؛ ii:



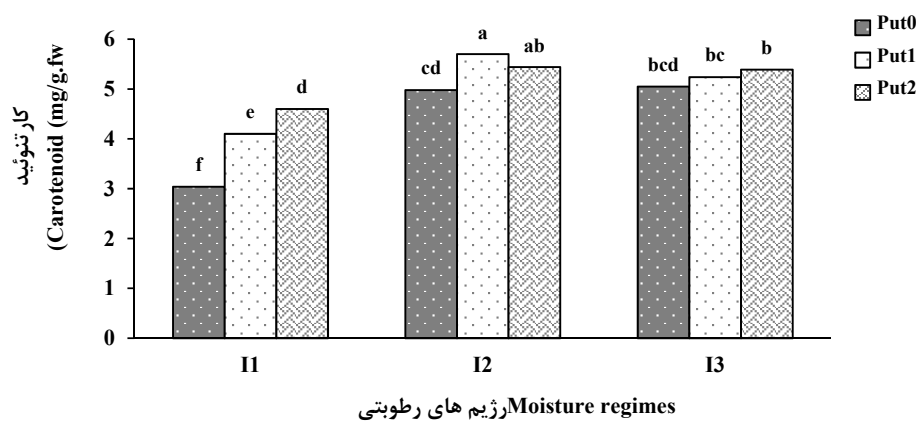
شکل ۴. اثر پوتربیسین و براسینواستروئید بر میزان کلروفیل b ریحان تحت تنش خشکی (Put<sub>0</sub>: عدم محلولپاشی پوتربیسین، Put<sub>1</sub>: غلظت ۰/۵ میلیمولار محلولپاشی پوتربیسین و Put<sub>2</sub>: غلظت ۲ میلیمولار محلولپاشی پوتربیسین، Br<sub>0</sub>: عدم محلولپاشی براسینواستروئید، Br<sub>1</sub>: غلظت ۰/۵ میکرومولار محلولپاشی براسینواستروئید و Br<sub>2</sub>: غلظت ۲ میکرومولار محلولپاشی براسینواستروئید و I<sub>1</sub>: ۴۰ و I<sub>2</sub>: ۸۰ و I<sub>3</sub>: ۱۲۰ میلیمتر تبخیر از تشک تبخیر).

Fig. 4. Effect of putrescine and brassinosteroid on chlorophyll b content of basil under drought stress (Put<sub>0</sub>: Non-sprayed putrescine, Put<sub>1</sub>: Concentration of 0.5 mM Puterisine Spray, Put<sub>2</sub>: Concentration of 2 mM Puterisine Spray, Br<sub>0</sub>: Non-sprayed brassinosteroid, Br<sub>1</sub>: Concentration of 0.5 mM brassinosteroid Spray, Br<sub>2</sub>: Concentration of 0.5 mM brassinosteroid Spray, I<sub>1</sub>: 40, I<sub>2</sub>: 80 and I<sub>3</sub>: 120 mm evaporation from evaporation pan).

بهوسیله اکسیژن یکتایی اکسید شوند (Ahmadi mosavi et al., 2015). کاروتونوئیدها می‌توانند حالت برانگیخته سهتایی حساس‌گر نوری کلروفیل را خاموش کنند. بنابراین به طور غیرمستقیم تولید گونه‌های اکسیژن را کاهش می‌دهند و همچنین کاروتونوئیدها از طریق مکانیسمی که چرخه گزانوفیل نامیده می‌شود باعث مصرف اکسیژن و حفاظت از کلروفیل در مقابل فتواکسیداسیون می‌شوند (Alizadeh, 1995). بنابراین با توجه به نقش حفاظتی کاروتونوئیدها نتایج تحقیق حاضر که افزایش معنی دار مقدار کاروتونوئیدها در طی تنش کم‌آبی و افزایش بیشتر آن طی استفاده از پوتربیسین توانم با تیمار کم‌آبی است قابل توجیه است. بدین ترتیب گیاه ریحان برای کاهش خسارت حاصل از تنش اکسیداتیو، مقدار کاروتونوئیدها را افزایش داده تا بتواند تنش کم‌آبی را بهتر تحمل نماید.

#### کارتنوئید

اثر متقابل تنش خشکی × پوتربیسین بر محتوی کارتنوئید برگ ریحان تأثیر معنی داری ( $P < 0.01$ ) داشت (جدول ۳). تیمار ۰/۵ میلیمولار پوتربیسین نسبت به تیمار عدم محلولپاشی پوتربیسین در شرایط عدم تنش خشکی و تنش متوسط و تنش شدید به ترتیب سبب افزایش ۱۲/۶۳، ۲۵/۸۵ و ۳/۶۲ درصد میزان کاروتونوئید برگ ریحان شد (شکل ۵). برای خنثی کردن اثر سمی گونه‌های اکسیژن فعال ایجادشده در تنش کم‌آبی، یک سیستم آنتی‌اکسیدان با کارایی بالا نیاز است که کاروتونوئیدها می‌توانند سیستم جمع کننده نور دستگاه فتوسنتری را از گزند مولکول‌های اکسیژن یکتایی حفاظت نمایند، همچنین کاروتونوئیدها می‌توانند مستقیماً اکسیژن یکتایی را خاموش و غیرفعال کنند و یا



شکل ۵. اثر پوتربیسین بر میزان کارتونئیدهای گیاه ریحان تحت بنش خشکی (Put<sub>0</sub>: عدم محلول پاشی پوتربیسین، Put<sub>1</sub>: غلظت ۰/۵ میلی مolar محلول پاشی پوتربیسین و Put<sub>2</sub>: غلظت ۲ میلی مolar محلول پاشی پوتربیسین، Br<sub>0</sub>: عدم محلول پاشی براسینواستروئید، Br<sub>1</sub>: غلظت ۰/۵ میکرو مolar محلول پاشی براسینواستروئید و Br<sub>2</sub>: غلظت ۲ میکرومolar محلول پاشی براسینواستروئید و I<sub>1</sub>: ۴۰، I<sub>2</sub>: ۸۰ و I<sub>3</sub>: ۱۲۰ mm evaporation from evaporation pan).

Fig. 5. Effect of putrescine on carotenoids content of basil plant under drought stress (Put<sub>0</sub>: Non-sprayed putrescine, Put<sub>1</sub>: Concentration of 0.5 mM Puterisine Spray, Put<sub>2</sub>: Concentration of 2 mM Puterisine Spray, Br<sub>0</sub>: Non-sprayed brassinosteroid, Br<sub>1</sub>: Concentration of 0.5 mM brassinosteroid Spray, Br<sub>2</sub>: Concentration of 0.5 mM brassinosteroid Spray, I<sub>1</sub>: 40, I<sub>2</sub>: 80 and I<sub>3</sub>: 120 mm evaporation from evaporation pan).

جدول ۳. تجزیه واریانس اثر پوتربیسین و براسینواستروئید بر صفات فیزیولوژیکی گیاه ریحان تحت بنش خشکی

Table 3. Analysis of variance (mean square) of the effect of putrescine and brassinosteroid on physiological traits of basil under drought stress

S.O.V	منابع تغییرات	درجه آزادی df	محتوای نسبی آب برگ Relative water content	نشت یونی Ion leakage	کلروفیل a Chlorophyll a	کلروفیل b Chlorophyll b	کارتونئید Carotenoid
Block	بلوک	2	619.56**	54.4 <sup>ns</sup>	30.44**	40.53**	0.0034 <sup>ns</sup>
Drought stress (D)	بنش خشکی	2	236.84*	2576**	68.36**	52.67**	4.843**
Error a	خطای a	4	107.56 <sup>ns</sup>	77.2 <sup>ns</sup>	1.015 <sup>ns</sup>	2.86*	0.146 <sup>ns</sup>
Putrescine (P)	پوتربیسین	2	250.5*	64.6 <sup>ns</sup>	72.27**	7.31**	0.412*
Brassinosteroid (B)	براسینواستروئید	2	151.3 <sup>ns</sup>	484.6**	59.68**	5.71**	0.0313 <sup>ns</sup>
D × P	بنش خشکی × پوتربیسین	4	113.3 <sup>ns</sup>	653.2**	23.32**	8.74**	0.735**
D × B	بنش خشکی × براسینواستروئید	4	54.5 <sup>ns</sup>	152.4 <sup>ns</sup>	1.49 <sup>ns</sup>	3.7**	0.194 <sup>ns</sup>
P × B	پوتربیسین × براسینواستروئید	4	112.7 <sup>ns</sup>	373.0**	26.25**	10.02**	0.192 <sup>ns</sup>
D × P × B	بنش خشکی × پوتربیسین × براسینواستروئید	8	186.2**	407.7**	46.34**	8.58**	0.157 <sup>ns</sup>
Error b	خطای b	80	64.3	88.7	2.16	0.927	0.099
	ضریب تغییرات (درصد) C.V%		10.31	12.89	14.1	18.89	14.92

Table 3. Continued

		جدول ۳. ادامه					
S.O.V	منابع تغییرات	درجه آزادی df	کاروتینوئید Carotenoid	فلاونوئید کل Total flavonoid	سرعت فتوسنتز Photosynthetic rate	غلظت CO <sub>2</sub> زیر روزندهای Substomatal CO <sub>2</sub> concentration	میزان انسانس Essential oil content
Block	بلوک	2	0.0034 <sup>ns</sup>	1.11*	0.00001 <sup>ns</sup>	170432.76**	0.3126**
Drought stress (D)	تنش خشکی	2	4.843**	4.77**	17.5**	60916.39**	0.3002**
Error a	خطای a	4	0.146 <sup>ns</sup>	0.42 <sup>ns</sup>	0.081 <sup>ns</sup>	871.72 <sup>ns</sup>	0.0035 <sup>ns</sup>
Putrescine (P)	پوتریسین	2	0.412*	0.12*	1.27**	5952.32**	0.5958**
Brassinosteroid (B)	براسینواستروئید	2	0.0313 <sup>ns</sup>	0.22 <sup>ns</sup>	4.82**	2753.52*	0.2187**
D × P	تنش خشکی×پوتریسین	4	0.735**	1.4**	1.2**	652.72 <sup>ns</sup>	0.3021**
D × B	تنش خشکی×براسینواستروئید	4	0.194 <sup>ns</sup>	0.76 <sup>ns</sup>	0.8**	639.05 <sup>ns</sup>	0.3199**
P × B	پوتریسین×براسینواستروئید	4	0.192 <sup>ns</sup>	1.78**	0.244**	963.59 <sup>ns</sup>	0.3852**
D × P × B	تنش خشکی×پوتریسین×براسینواستروئید	8	0.157 <sup>ns</sup>	0.74*	2.09**	2115.65*	0.4322**
Error b	خطای b	80	0.099	0.33	0.06	786.3	0.008
ضریب تغییرات (درصد) C.V%			14.92	13.9	14.01	5.88	22.57

ns, \* و \*\*: به ترتیب غیر معنی دار و معنی دار در سطح احتمال ۵ و ۱ درصد.

Ns: non-significant, \* and \*\*: significant at 5% and 1% level f probability, respectively.

در مطالعه حاضر، افزایش فلاونوئید کل در اثر خشکی ممکن است بیانگر این باشد که گیاه ریحان برای مقابله با اثرات آسیب‌رسان خشکی، به مقادیر زیادی از فلاونوئیدها وابسته است. یکی از دلایل افزایش میزان فلاونوئیدها در شرایط تنش، ایجاد محدودیت در انتقال الکترون فتوسنتزی طی تنش است که سبب ایجاد تغییرات متabolیک در گیاه از جمله منجر به القای سنتز فلاونوئیدها برای تعدیل این وضعیت می‌شود. (Rezaei et al., 2014).

فلاونوئیدها جزء فعالی از گیاهان دارویی بوده و خواص دارویی دارند، آن‌ها به عنوان ترکیب‌های فعال فیزیولوژیکی، عوامل محافظت‌کننده در مقابل استرس و به عنوان جذب‌کننده‌ها نقش مهمی در مقاومت گیاهان دارند. (Tattini et al., 2004). می‌توان گفت که محرك‌هایی مثل پوتریسین و براسینواستروئید ممکن است ژن‌های جدیدی را فعل کنند که آنزیم‌ها و درنهایت مسیرهای بیوسنتزی مختلفی را

### فلاونوئید کل

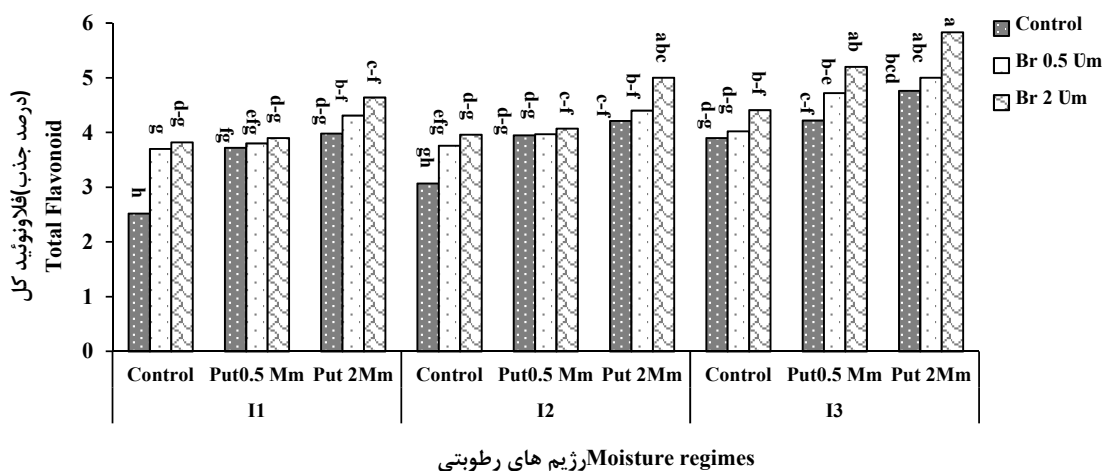
با توجه به جدول تجزیه واریانس (جدول ۳) میزان فلاونوئید کل گیاه ریحان تحت تأثیر برهمنش تنش خشکی × پوتریسین × براسینواستروئید ( $P < 0.05$ ) معنی دار شد. نتایج مقایسه میانگین نشان داد که محتوای فلاونوئید کل گیاه ریحان با افزایش سطح خشکی، افزایش معنی دار یافته و با کاربرد پوتریسین و براسینواستروئید در همه شرایط رطوبتی اعمال شده میزان فلاونوئید بیشتری حاصل شد و غلظت تؤمن ۲ میلی‌مولار پوتریسین و ۲ میکرومولار براسینواستروئید در افزایش میزان فلاونوئید کل مؤثرتر بود (شکل ۶)، به طوری که کاربرد غلظت ۲ میلی‌مولار پوتریسین به همراه ۲ میکرومولار براسینواستروئید نسبت به تیمار عدم کاربرد پوتریسین و براسینواستروئید (شاهد) در شرایط عدم تنش خشکی، تنش خشکی متوسط و تنش خشکی شدید به ترتیب ۳۸/۶، ۴۵/۶۸ و ۳۳/۱ درصد بود (شکل ۵).

همراه هر سه سطح پوتیریسین تفاوت معنی داری نشان نداد، اما نسبت به شرایط تنش خشکی متوسط و شدید به همراه سایر غلظت‌های پوتیریسین و براسینواستروئید تفاوت معنی‌داری بر سرعت فتوسترنز داشت و سبب افزایش این صفت گردید (شکل ۶). در شرایط تنش خشکی متوسط و شدید، غلظت تواأم ۲ میکرومولار براسینویید و ۰/۵ میکرومولار پوتیریسین نسبت به شاهد (عدم محلول پاشی پوتیریسین و براسینواستروئید) به ترتیب ۷۶/۵۹ و ۸۳/۳۳ درصد سرعت فتوسترنز بیشتری حاصل گردید اما در شرایط عدم تنش خشکی غلظت ۲ میلی‌مولار پوتیریسین به همراه ۲ میکرومولار براسینواستروئید نسبت به شاهد ۷۹/۴۱ درصد سرعت فتوسترنز بیشتری نشان داد (شکل ۷).

راهاندازی کنند و باعث تشکیل متابولیت‌های ثانویه شوند. کاربرد خارجی براسینواستروئید می‌تواند فعالیت ترکیبات آنتی‌اکسیدانی مقابله‌کننده با تنش اکسیداتیو مثل آنتوسیانین، فلاونوئید و ترکیبات فنولی را افزایش دهد (Rezaei et al., 2018).

#### سرعت فتوسترنز

در این پژوهش عوامل آزمایشی تنش خشکی × پوتیریسین × براسینواستروئید تأثیر معنی‌داری ( $P < 0.01$ ) بر سرعت فتوسترنز داشتند (جدول ۳). در شرایط عدم اعمال تنش خشکی، کاربرد غلظت ۲ میکرومولار براسینواستروئید به



شکل ۶. اثر پوتیریسین و براسینواستروئید بر میزان فلاونوئید کل گیاه ریحان تحت تنش خشکی (Put<sub>0</sub>: عدم محلول پاشی پوتیریسین، Put<sub>1</sub>: غلظت ۰/۵ میلی‌مولار محلول پاشی پوتیریسین و Put<sub>2</sub>: غلظت ۲ میلی‌مولار محلول پاشی پوتیریسین، Br<sub>0</sub>: عدم محلول پاشی براسینواستروئید، Br<sub>1</sub>: غلظت ۰/۵ میکرومولار محلول پاشی براسینواستروئید و Br<sub>2</sub>: غلظت ۲ میکرومولار محلول پاشی براسینواستروئید و I<sub>1</sub>: ۴۰ و I<sub>2</sub>: ۸۰ و I<sub>3</sub>: ۱۲۰ میلی‌متر تبخیر از تشتک تبخیر).

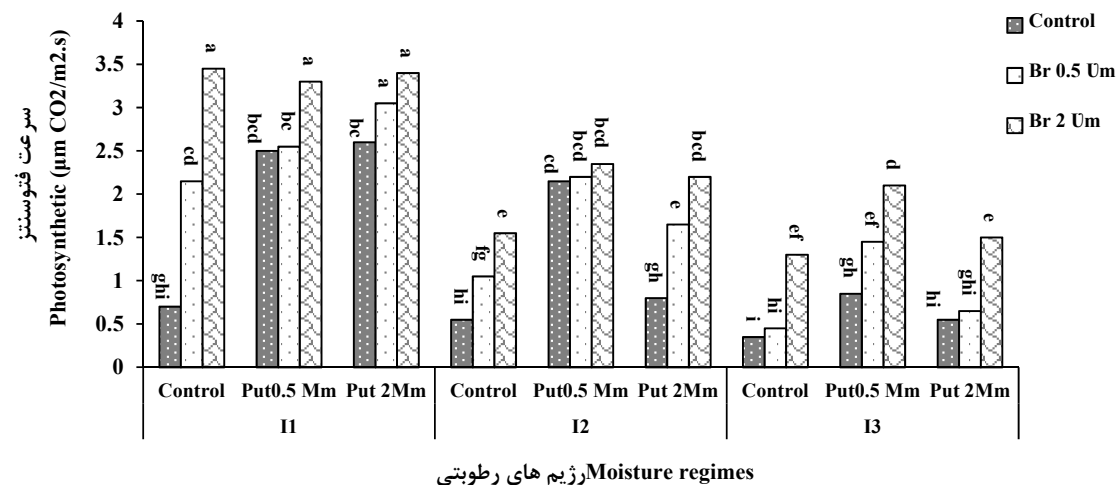
**Fig. 6. Effect of putrescine and brassinosteroid on total flavonoid content of basil plant under drought stress (Put<sub>0</sub>: Non-sprayed putrescine, Put<sub>1</sub>: Concentration of 0.5 mM Puterisine Spray, Put<sub>2</sub>: Concentration of 2 mM Puterisine Spray, Br<sub>0</sub>: Non-sprayed brassinosteroid, Br<sub>1</sub>: Concentration of 0.5 mM brassinosteroid Spray, Br<sub>2</sub>: Concentration of 0.5 mM brassinosteroid Spray, I<sub>1</sub>: 40, I<sub>2</sub>: 80 and I<sub>3</sub>: 120 mm evaporation from evaporation pan).**

بدین سبب گیاه ریحان نسبت به تیمار تنش خشکی شدید میزان افت فتوسترنز کمتری را داشت؛ اما محلول پاشی پوتیریسین و براسینواستروئید سبب بهبود میزان فتوسترنز در همه سطوح تنش خشکی گردید (شکل ۹). در مورد علت کاهش میزان فتوسترنز گیاه براثر کاهش میزان آب در دسترس آن در شرایط تنش محیطی سه فرضیه عنوان شده است که

نتایج حاصل از این پژوهش نشان‌دهنده اثرات تنش خشکی بر سرعت فتوسترنز در گیاه ریحان بود به طوری که تنش خشکی و بهویژه تنش شدید موجب کاهش سرعت فتوسترنز گردید که با نتایج پژوهش‌های قبلی در گیاه آنسیون مطابقت داشت (Heidari., 2015) و درصد تنش خشکی متوسط اختلال کمتری در جذب دی‌اکسید کربن داشت و

است. پس در نتیجه میزان فتوسنترز کاهش می‌یابد. افزایش میزان فتوسنترز در ترکیبات به کاربرده شده را احتمالاً می‌توان به کاهش از دستدهی آب و افزایش میزان رطوبت نسبی برگ و شادابی برگ نسبت داد.

این پژوهش با فرضیه و تحقیقات انجام شده توسط لاولر و کورنیک (Cornic and Lawlor, 2002) در یک راست است، بر اساس این فرضیه آن‌ها گزارش نمودند که کاهش میزان آب در دسترس گیاه موجب کاهش میزان هدایت روزنماهی و به سبب آن کاهش میزان دی‌اکسید کربن درون روزنها شده



شکل ۷. اثر پوتریسین و براسینواستروئید بر سرعت فتوسنترز ریحان تحت تنش خشکی : Put<sub>0</sub>: عدم محلول پاشی پوتریسین، Put<sub>1</sub>: غلظت ۰/۰ میلی‌مولار محلول پاشی پوتریسین و Put<sub>2</sub>: غلظت ۲ میلی‌مولار محلول پاشی پوتریسین، Br<sub>0</sub>: عدم محلول پاشی براسینواستروئید، Br<sub>1</sub>: غلظت ۰/۵ میکرومولار محلول پاشی براسینواستروئید و Br<sub>2</sub>: غلظت ۰/۵ میکرومولار محلول پاشی براسینواستروئید و I<sub>1</sub>: ۴۰، I<sub>2</sub>: ۸۰ و I<sub>3</sub>: ۱۲۰ میلی‌متر تبخیر از تشتک تغییر).

**Fig. 7. Effect of putrescine and brassinosteroid on the rate of photosynthesis of basil plant under drought stress (Put<sub>0</sub>: Non-sprayed putrescine, Put<sub>1</sub>: Concentration of 0.5 mM Puterisine Spray, Put<sub>2</sub>: Concentration of 2 mM Puterisine Spray, Br<sub>0</sub>: Non-sprayed brassinosteroid, Br<sub>1</sub>: Concentration of 0.5 mM brassinosteroid Spray, Br<sub>2</sub>: Concentration of 0.5 mM brassinosteroid Spray, I<sub>1</sub>: 40, I<sub>2</sub>: 80 and I<sub>3</sub>: 120 mm evaporation from evaporation pan).**

میزان غلظت CO<sub>2</sub> زیر روزنها به طور معنی‌داری ( $P < 0.05$ ) تحت تأثیر تیمارهای تنش خشکی × پوتریسین × براسینواستروئید قرار گرفت (جدول ۳). تنش خشکی متوسط و شدید نسبت به شاهد سبب افزایش میزان غلظت CO<sub>2</sub> زیر روزنها گردید و محلول پاشی غلظت بیشتر پوتریسین (۰/۵ میلی‌مولار) و براسینواستروئید (۰/۵ میکرومولار) نسبت به عدم محلول پاشی سبب افزایش غلظت CO<sub>2</sub> زیر روزنها شد (شکل ۸).

در تنش متوسط و شدید و محلول پاشی ۰/۵ میلی‌مولار پوتریسین بین غلظت‌های مختلف براسینواستروئید تفاوت معنی‌داری ایجاد نشد. بیشترین مقادیر غلظت CO<sub>2</sub> زیر روزنها در تیمار تنش شدید، ۰/۵ میلی‌مولار پوتریسین و ۰/۵ میکرومولار براسینواستروئید و کمترین مقدار در تیمار شاهد

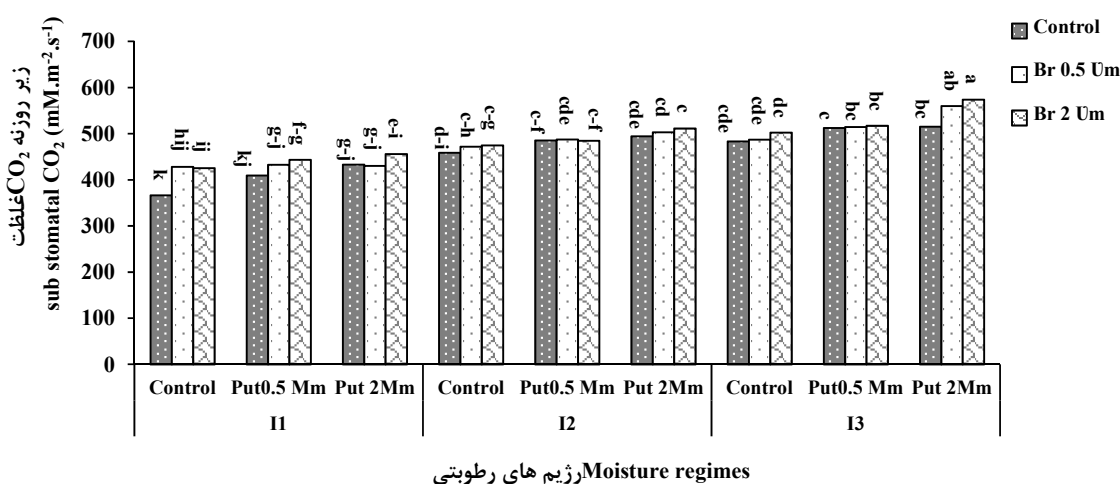
اخیراً برخی مطالعات نشان داده‌اند که سطوح داخلی پلی-آمین‌ها با محلول پاشی خارجی افزایش می‌یابد که موجب می‌گردد کارابی فتوسنترز در برابر تنش‌های محیطی افزایش یابد (Baniasad et al., 2015). پلی‌آمین‌ها از طریق تحریک سنتز ATP انرژی سلول را تأمین کرده و ظرفیت فتوسنترز با افزایش کارابی فتوشیمیایی فتوسیستم II در شرایط تنش بهبود می‌یابد (Zhang et al., 2009). کاربرد خارجی پوتریسین می‌تواند این تغییرات را با تحریک سازمان دهی مجدد سیستم فتوسنترزی جبران کند (Baniasad et al., 2015). گروهی از محققین با بررسی تأثیر ۰/۵ اپی‌براسینو-استروئید بر گیاه شمعدانی معطر به این نتیجه رسیدند که رشد و فتوسنترز افزایش یافت (Swamy and Rao, 2009).

**غلظت CO<sub>2</sub> زیر روزنها**

مزوفیل در استفاده از دی‌اکسید کربن است. تجمع دی‌اکسید کربن در برگ در شرایط تنش نشان‌دهنده عدم توانایی گیاه در فرآوری دی‌اکسید کربن علی‌رغم عبور آن از مقاومت روزنهاست (Papi Mousavi et al., 2014). بنابراین، در صورتی که کاهش فتوسنتر با افزایش یا ثبات غلاظت دی‌اکسید کربن زیر اتفاق روزنها همراه باشد، می‌توان گفت که عوامل غیر روزنها محدودکننده فتوسنتر هستند (Jaleel et al., 2008). براسینواستروئیدها با افزایش غلاظت  $\text{CO}_2$  درونی کارایی فتوسنتر و تثبیت کربن را افزایش می‌دهند (Hajbagheri, 2018).

(عدم تنش خشکی و عدم محلول‌پاشی) به دست آمد به طوری که غلظت ۲ میلی‌مولار پوتربیسین به همراه ۲ میکرو-مولار براسینواستروئید نسبت به تیمار عدم کاربرد پوتربیسین و براسینواستروئید (شاهد) در شرایط عدم تنش خشکی، تنش خشکی متوسط و تنش خشکی شدید به ترتیب سبب  $19/5$  و  $10/7$  و  $15/7$  درصد افزایش غلظت  $\text{CO}_2$  زیر روزنها گردید (شکل ۸).

میزان کمتر فتوسنتر و فرآوری دی‌اکسید کربن در حضور مقادیر بالای دی‌اکسید کربن اتفاق زیر روزنها به مفهوم پایین بودن میزان هدایت مزوویلی و عدم توانایی سلول‌های



شکل ۸. اثر پوتربیسین و براسینواستروئید بر غلظت  $\text{CO}_2$  زیر روزنها در برابر تنش خشکی (Put<sub>0</sub>: عدم محلول‌پاشی پوتربیسین، Put<sub>1</sub>: غلظت  $0/5$  میلی‌مولار محلول‌پاشی پوتربیسین و Put<sub>2</sub>: غلظت  $2$  میلی‌مولار محلول‌پاشی پوتربیسین، Br<sub>0</sub>: عدم محلول‌پاشی براسینواستروئید براسینواستروئید، Br<sub>1</sub>: غلظت  $0/5$  میکرومولار محلول‌پاشی براسینواستروئید و Br<sub>2</sub>: غلظت  $0/5$  میکرومولار محلول‌پاشی براسینواستروئید و  $I_1: 40$  و  $I_2: 80$  و  $I_3: 120$  میلی‌متر تبخیر از تشتک تبخیر).

Fig. 8. Effect of putrescine and brassinosteroid on sub-stomatal  $\text{CO}_2$  content of basil under drought stress (Put<sub>0</sub>: Non-sprayed putrescine, Put<sub>1</sub>: Concentration of  $0.5 \text{ mM}$  Puterisine Spray, Put<sub>2</sub>: Concentration of  $2 \text{ mM}$  Puterisine Spray, Br<sub>0</sub>: Non-sprayed brassinosteroid, Br<sub>1</sub>: Concentration of  $0.5 \text{ mM}$  brassinosteroid Spray, Br<sub>2</sub>: Concentration of  $0.5 \text{ mM}$  brassinosteroid Spray, I<sub>1</sub>:  $40$ , I<sub>2</sub>:  $80$  and I<sub>3</sub>:  $120$  mm evaporation from evaporation pan).

میزان اسانس نشان داد که تیمار تنش خشکی متوسط در همه سطوح محلول‌پاشی نسبت به سایر تیمارهای تنش خشکی دارای بیشترین میزان اسانس بود (شکل ۹). در هر سه شرایط آبیاری، محلول‌پاشی براسینو استروئید در غلظت کم ( $0/5$  میکرومولار) میزان اسانس بیشتری حاصل گردید به طوری که میانگین میزان اسانس گیاه ریحان در تیمار محلول‌پاشی غلظت کمتر براسینو استروئید ( $0/5$  میکرومولار) همراه با غلظت بیشتر پوتربیسین ( $2$  میلی‌مولار) در تنش خشکی شدید، متوسط و عدم تنش خشکی به ترتیب موجب

میزان اسانس اثرات متقابل پوتربیسین × تنش خشکی و پوتربیسین × براسینو استروئید بر میزان اسانس گیاه ریحان تأثیر معنی‌داری داشت (جدول ۳). میانگین تغییرات میزان اسانس بیانگر تأثیر تنش خشکی بر میزان اسانس نسبت به تیمار عدم تنش خشکی بوده به طوری که محلول‌پاشی پوتربیسین و براسینو استروئید نسبت به تیمار عدم محلول‌پاشی موجب افزایش میزان اسانس گردید. نتایج مقایسه میانگین اثرات برهمکنش تنش خشکی × پوتربیسین × براسینو استروئید بر

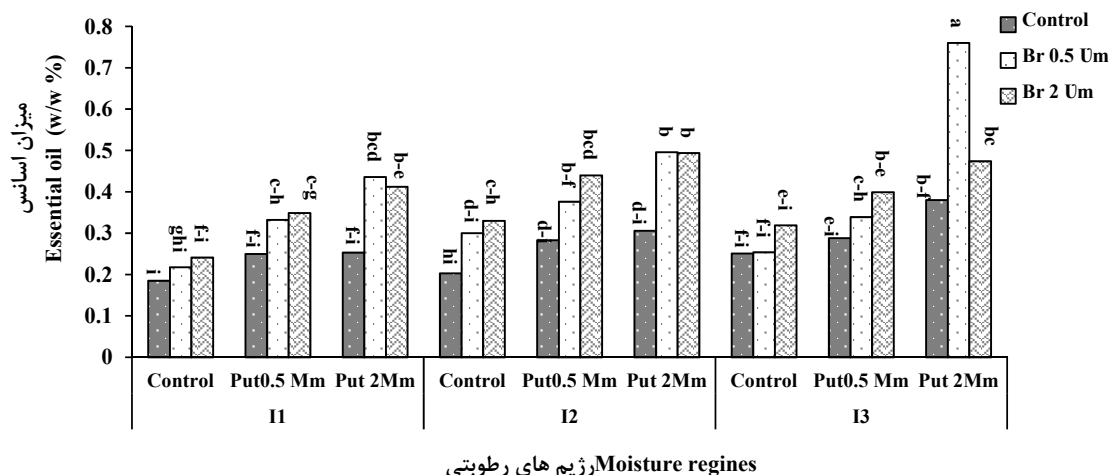
پوتریسین بر استحکام غشای سلولی برگ و همچنین بازداری از فعالیت آنزیم‌های هیدرولتیکی جهت جلوگیری از پیری-گیاه عنوان شده است (El-Lethy et al., 2010). تأثیر آنتی-اکسیدانتی پلی‌آمین‌ها و مستحکم نمودن غشاء در ارتباط با یکسری بارهای مثبت (گروههای آمینی) در ساختار مولکول است (Izadi and Tadayon, 2016). تنش ملایم موجب افزایش اسانس در گیاه بادرشبویه شد و با افزایش شدت تنش میزان اسانس کاهش یافت (Rahbarian and Salehi, 1990; Charles and Simon, 1990; چارلز و سیمون 2014). گزارش نمودند که در دو گیاه ریحان و نعناع بالا بودن تراکم غده‌های مترشحه اسانس در اثر کاهش سطح برگ ناشی از تنش، باعث تجمع بیشتر اسانس می‌شود.

در این آزمایش نیز شاید به توان درصد بالای اسانس در تیمار تنش متوسط را (سطح دوم آبیاری) به کاهش سطح برگ و متعاقب آن افزایش تراکم غده‌های ترشح‌کننده اسانس مربوط دانست. از آنجایی که گیاه ریحان بیشترین میزان اسانس خود را در مرحله گلدهی کامل دارا است می‌توان کاهش میزان اسانس در سطوح بالا تنش را به رشد ضعیف رویشی و کاهش گلدهی گیاهان نسبت داد.

افزایش ۳۹/۵ و ۶۶/۵ درصدی میزان اسانس نسبت به تیمار شاهد (عدم محلول پاشی پوتریسین و براسینواستروئید) شد (شکل ۹).

بخش عمده اسانس‌ها ترکیبات ترپنئیدی هستند که نیتروژن پیش ماده این ترکیب‌هاست (Esmaeilzadeh et al., 2013) به نظر می‌رسد که افزایش چشمگیر میزان اسانس در مقایسه با تیمار شاهد به دلیل جذب عناصر غذایی از جمله نیتروژن بوده است. تنش خشکی میزان فتوسنترز را در گیاه محدود ساخته و با تغییر در میزان جذب عناصر غذایی از خاک، آمینواسیدها را دچار نوسان کرده و با کاهش فعالیت چرخه‌های مربوط به تولید متابولیت‌های ثانویه (اسانس) سبب مقابله با تنش خشکی و باعث افزایش بازده اسانس می‌گردد (Baniasadi et al., 2015).

به دلیل پیش ماده مشترک برای ساخت پلی‌آمین‌ها و اتیلن، بین پوتریسین و اتیلن بر سر پیش ماده SAM رقابت به وجود آمده، بنابراین اثرات فیزیولوژیک اتیلن در گیاهان با تیمار پلی‌آمین‌ها حالت آنتاگونیسمی داشته و ساخت یکی، نقش بازدارندگی از ساخت دیگری را خواهد داشت (Saffari et al., 2016). محلول پاشی پوتریسین در غلظت بالا میزان اسانس گیاه ریحان را افزایش داد که این موضوع به دلیل تأثیر



شکل ۹. اثر پوتریسین و براسینواستروئید بر میزان اسانس ریحان تحت تنش خشکی (Put0: عدم محلول پاشی پوتریسین، Put1: غلظت ۰/۰ میلی‌مولار محلول پاشی پوتریسین و Put2: غلظت ۲ میلی‌مولار محلول پاشی پوتریسین، Br0: عدم محلول پاشی براسینواستروئید، Br1: غلظت ۰/۰ میکرومولار محلول پاشی براسینواستروئید و Br2: غلظت ۰/۵ میکرومولار محلول پاشی براسینواستروئید و I1: ۴۰، I2: ۸۰ و I3: ۱۲۰ میلی‌متر تبخیر از نشتک تبخیر).

Fig. 9. Effect of putrescine and brassinosteroid on essential oil content of basil under drought stress (Put0: Non-sprayed putrescine, Put1: Concentration of 0.5 mM Puterisine Spray, Put2: Concentration of 2 mM Puterisine Spray, Br0: Non-sprayed brassinosteroid, Br1: Concentration of 0.5 mM brassinosteroid Spray, Br2: Concentration of 0.5 mM brassinosteroid Spray, I1: 40, I2: 80 and I3: 120 mm evaporation from evaporation pan).

### نتیجه‌گیری نهايی

از آنجايی که پلي آمين‌ها و براسيوناستروئيدها از جمله مولکول‌هاي مؤثر در مسیر علامت‌رسانی تنش‌ها به شمار می‌روند، محلول‌پاشی اين مواد به القاي پاسخ‌های دفاعی می‌انجامد. به‌احتمال‌زياد اين پاسخ‌ها به افزایش تحمل گیاه ريحان به تنش خشکی منجر شده و فعالیت‌های فيزيولوژی را در اين شرایط بهبود بخشیده است. اين مشاهدات و نتایج نشان می‌دهد که هورمون‌های پوتريسيین و براسيوناستروئيد می‌توانند بر تحمل گیاه ريحان در مقابل خشکی بيفزايند و در مديريت بهتر آب در گیاه ريحان نقش داشته باشند. با توجه به بحران شدید کم‌آبی در کشور و تغييرات آب و هوایی در کره زمين، به‌كارگيري هورمون پوتريسيين و براسيوناستروئيد می‌تواند از نظر اقتصادي، کشاورزی و زیستمحیطی برای افزایش تحمل به تنش خشکی در گیاه ريحان توجيه داشته باشد.

در اين تحقيق مشاهده شد که محلول‌پاشی هورمون‌های پوتريسيين و براسيوناستروئيد بر گیاه ريحان منجر به تغييرات معنی‌داری در همه صفات موردررسی نسبت به نمونه شاهد شدند که اين حاکي از اثربخشی اين ترکيبات است. كاربرد توأم بالاترین غلظت پوتريسيين و براسيوناستروئيد، تأثير بارزی بر صفات فيزيولوژيکي داشت و باعث افزایش صفاتی مانند، كلروفيل a، كلروفيل b، سرعت فتوسنترز و فلاونوئيد كل شد که غلظت ۲ ميلي مولار پوتريسيين و ۲ ميكرومولار براسيوناستروئيد برای بهبود فعالیت‌های فيزيولوژيکي و كاربرد توأم ۲ ميلي مولار پوتريسيين و ۰/۵ ميكرومولار جهت افزایش ميزان اسانس گیاه ريحان پيشنهاد می‌شود.

### منابع

- Ahmadi Mousavi, E., Kalantari, M., Jafari, R., Hasibi, N., Mahdavian, K., 2015. International Center for Science, High technology and Environmental Science, Kerman, I.R. of IRAN. Study of the effects of 24 epibrassinolide and water stress on some physiological parameters in canola (*Brassica napus L.*) seedling. Biological Science Promotion. 2, 275-286.
- Alishah, H.M., Heidari, R., Hassani, A., Dizaji, A.A., 2006. Effect of water stress on some morphological and biochemical characteristics of purple basil (*Ocimum basilicum*). Biological Sciences. 6, 763-767.
- Alizadeh, A., CramerPaul, J., 1374. The relationship between soil and plant water. Ferdowsi University of Mashhad Publication. 744 Pp. [In Persian].
- Allen, R.G., Pereira, L.S., Raes, D., Smith, M., 1998. Crop evapotranspiration-guidelines for computing crop water requirements-FAO irrigation and drainage paper 56. FAO, Rome, 300, 6541.
- Amirinejad, M., Akbari, G., Baghizadeh, A., allahdadi, I., Shahbazi, M., Naimi, M., 2015. Effects of drought stress and foliar application of zinc and iron on some biochemical parameters of cumin, Journal of Crops Improvement. 17, 855-866. [In Persian with English Summary].
- Anjum, N.A., Sofo, A., Scopa, A., Roychoudhury, A., Gill, S.S., Iqbal, M., 2014. Lipids and proteins-major targets of oxidative modification sin a biotic stressed plants. Environmental Science and Pollution Research. 121-135.
- Baker, D.N., Musgrave, R.B., 1964. The effects of low level moisture stresses on the rate of apparent photosynthesis in corn. Crop Science. 4, 249-253.
- Baniasadi, F., Saffari, R., Maghsudi, A., 2015. Effect of putrescine and salinity on morphological and biochemical traits and pigment content of marigold plant (*Calendula officinalis L.*). Journal of Science and Technology of Greenhouse Culture Soilless Culture Research Center. 6, 125-134. [In Persian with English Summary].
- Blum, A., 2011. Drought resistance—is it really a complex trait? Functional Plant Biology. 38, 753–757.
- Bucks, D.A., Nakayama, F.S., Warrick, A.W., 1982. Principles, Practices, and Potentialities of trickle drip irrigation. In: Hillel, D. (Ed.), Advances in Irrigation Agronomy Assets Cambridge. 1, 219-298.
- Charles, D.J., Simon, J.E., 1990. Effects of osmotic stress on the essential oil content and composition of peppermint. Phytochemistry. 29, 2837-2840.

- Cornic, G., 2002. Drought stress inhibits photosynthesis by decreasing stomatal aperture-not by affecting ATP synthesis. Trends in Plant Science. 5, 187-188.
- Damayanthi, M.M.N., Mohtti, A.J., Nissanka, S.P., 2010. Comparison of tolerant ability of mature field grown tea (*Camellia sinensis* L.) cultivars exposed to a drought stress in Passara Area. Tropical Agriculture Research. 22, 66-75.
- Dastborhan, S., Zehtab-Salmasi, S., Nasrollahzadeh, S., Tavassoli, A.R., 2011. Effect of biofertilizers and different amounts of nitrogen on yield of flower and essential oil and nitrogen use efficiency of german chamomile (*Matricaria chamomilla* L.). Iranian Journal of Medicinal and Aromatic Plants. 27, 290-305. [In Persian with English Summary].
- Diaz-Perez, J.C., Shackel, K.A., Sutter, E.G., 2006. Relative water content. Annals of Botany. 97, 85-96.
- El-Lethy, S., Ayad, H., Talaat, I., 2010. Physiological effect of some antioxidant on flax plant (*Linum usit atissimum* L.). World Journal of Agricultural Sciences. 6 (5), 622-629.
- Eskandari, M., 2013. Changes in growth parameters and essential oil content of *Satureja bachtiarica* bunge under the effects of 28-Homobrassinolid and drought stress. Iranian Journal of Medicinal and Aromatic Plants. 29, 176-186. [In Persian with English Summary].
- Esmaeilzadeh Bahabadi, S., Sharifi, M., 2013. Increasing the production of plant secondary metabolites using biotic elicitors, Journal of Cell and Tissue. 4, 119-128. [In Persian with English Summary].
- Fischer, R.A., Rees, D., Sayre, K.D., Lu, Z.M., Candon, A.G., Saavedra, A.L., 1998. Wheat yield progress associated with higher stomatal conductance and photosynthetic rate, and cooler canopies. Crop Science. 38, 1467-1475.
- Flinet, H.I., Boyce, B.R., Beatti, D.J., 1966. Index of injury drought a useful expression of freezing injury to plant tissues as determined by the electrolytic method. Canadian Journal of Plant Science. 47, 229-230.
- Gill, S.S., Tteja, N., 2010. Polyamines and abiotic stress tolerance in plants. Plant Signaling Behavior. 5, 26-33.
- Gohari, Gh., Nepour Aghdam, M.B., Dadpour, M.R., Shairde, M., 2017. The effect of different levels of zinc spraying on growth parameters and essential oil yield of basil (*Ocimum basilicum* L.) under salinity stress conditions. Journal of Science and Technology of Greenhouse Culture. 4 (15), 15-32. [In Persian with English Summary].
- Gratani, L., Varone, L., 2004. Leaf keytraits of *Erica arborea* L., *Erica multiflora* L. and *Rosmarinus officinalis* L. occurring in the Mediterrane anmaquis. Flora. 199, 58-69.
- Hajbagheri, S., Abbaspour, H., Enteshari, S., Iranbakhsh, A., 2018. Study effect of mycorrhiza glomus mosseae and brassinosteroid the mechanism of photosynthesis of anise (*Pimpinella anisum* L.) under cadmium stress, Developmental Biology. 10 (3), 55-71. [In Persian with English Summary].
- Hayat, SH., Hayat, Q., Alyemeni, M.N., Shafi Wani, A., Pichtel, J., Aqil Ahmad, A., 2012. Role of proline under changing environments. Plant and Behavior. 7, 1456–1466.
- Heidari, N., 2015. Effects of drought stress on photosynthesis, its parameters and relative water content of anise (*Pimpinella anisum* L.). Iranian Journal of Plant Researches. 27 (5), 829-839. [In Persian with English Summary].
- Heidary, N., PoorYousefi, M., Tavakoli, A., 2014. Effects of drought stress on photosynthesis, its parameters and relative water content of anise (*Pimpinella anisum* L.). Journal of Plant Research. Iranian Journal of Biology. 27 (5), 829-839. [In Persian with English Summary].
- Imam, Y., Zavarehi, M., 2005. Drought tolerance in higher plants (genetically, physiological and molecular biological Analysis). Academic Publishing Center of Tehran, Iran. 186. [In Persian].
- Izadi, Z., Tadayon, M., 2016. Effect of salicylic acid and spermine on yield and yield components of castor bean (*Ricinus communis* L.) under drought stress. Environmental Stresses in Crop Sciences. 8, 159-167. [In Persian with English Summary].
- Jaleel, C.A., Sankar, B., Sridharan, R., Panneerselvam, R., 2008. Soil salinity alters growth, chlorophyll content, and secondary metabolite accumulation in *catharanthus roseus*. Turkish Journal of Biology. 32, 79-83.
- Kheiry, A., Tori, H., Mortazavi, N., 2017. Effects of drought stress and jasmonic acid elicitors on

- morphological and phytochemical characteristics of peppermint (*Mentha piperita L.*). Iranian Journal of Medicinal and Aromatic Plants. 33, 268-280. [In Persian with English Summary].
- Li, K.R., Feng, C.H., 2011. Effects of brassinolide on drought resistance of xanthoceras sorbifolia seedlings under water stress. Acta Physiological Plantarum. 33, 1293–1300.
- Liang, Y., Chen, Q., Liu, Q., Zhang, W., Ding, R., 2003. Exogenous silicone (Si) increases antioxidant enzymeactivity and reduces lipid peroxidation in roots of salt-stressed barley (*Hordeum vulgare L.*). Journal of Plant Physiology. 160, 1157-1164.
- Lichtenthaler, H.K., Wellburn, A.R., 1983. Determination of total carotenoids and chlorophyll a and b of leaf extract in different solvents. Biochemical Society Transactions. 11, 591–592.
- Liu, F., Jensen, C.R., Andersen, M.N., 2004. Drought stress effect on carbohydrate concentration in soybean leaves and pods during early reproductive development: its implication in altering pod set. Field Crops Research. 86 (1), 1-13.
- Liu, W., Yu-Jie, F., Yuan-Gang, Z., Mei-Hong, T., Nan, u., Xiao-Lei, L., Zhang, S., 2009. Supercritical carbon dioxide extraction of seed oil from *Opuntia dillenii*Haw and its antioxidant activity. Food Chemistry. 114, 334–339.
- Mahgoub, M.H., Abd El Aziz, N.G., Mazhar, A.M.A., 2011. Response of *dahlia pinnata L.* plant to foliar spray with putrescine and thiamine on growth, flowering and photosynthetic pigments. American-Eurasian Journal of Agriculture and Environmental Science. 10, 769-775.
- Mizanzadeh, H., Imam, Y., 2010. Investigation of indices of leaf area, height, photosynthetrate, stomata conductance of four species of wheat under the drought tension. Ecophysiology of Agricultural Plants. 2, 111-121. [In Persian with English Summary].
- Nazarli, H., Ahmadi, A., Hadian, J., 2015. Putrescine induces drought tolerance and alters the activities of antioxidant enzymes in growing chamomile plants (*Matricaria Chamomilla L.*). Iranian Journal of Field Crop Science. 46, 227-235. [In Persian with English Summary].
- Ozdamir, F., Bor, M., Demiral, T., Turkan, I., 2004. Effects of 24-epibrassinolide onseed germination, seedling growth, lipid peroxidation, proline content andantioxidative system of rice (*Oriza sativa L.*) under salinity stress. Plant Growth Regulation. 42, 203-211.
- Papi Mousavi, E., Arzani, M., Saeidi. 2014. Evolution photosynthetic parameters in canola and their relationships with leaf area index under field conditions. Journal of Plant Process and Function Iranin Society of Plant Physiology. 3 (8), 47-56. [In Persian with English Summary].
- Rahbarian, P., Salehi Sardoei, A., 2014. Effectsof drought stress and manure on dray herb yield and essential oil of Dragonhead (*Dracocephalum moldavica*) in Jiroft area. International Journal of Bioscience. 4, 212-217. [In Persian].
- Rezaei Chyanh, A., Zehtab, S., Ghasemi Golezani, K., Delazar, A., 2012. Physiological reaction fennel *Foeniculum (vulgar L.)* to water limitation. Journal of Agricultural Ecology. 4, 347-355. [In Persian with English Summary].
- Rezaei, H., Saeedi-Sar, S., Ebadi1, M., Abbaspoor, H., 2018. Effect of methyl jasmonate and 24-epi-brassinosteroids foliar application on protein, sugars, anthocyanin, phenol and flavonoid content of black mustard (*Brassica nigra L.*) Under salinity conditions. 9 (4), 1-5. [In Persian with English Summary].
- Rezaei, S., Mohammadian, A., Bakhshi, D., 2014. An investigation on some medicinal compounds and PAL activity in two olive cultivars under cold stress, Iranian Journal of Plant Biology. 6, 1-16. [In Persian with English Summary].
- Rubinowska, K., Pogroszewska, E., Michalek, W., 2012. The effect of polyamines on physiological parameters of post- harvest quality of cut stems of *Rosa 'Red Berlin'*. Acta Scientiarum Polonorum Hortorum Cultus. 11, 81-93.
- Sabet Teimouri, M., Kafi, M., Avarseji, Z., Orooji, K., 2010. Effect of drought stress, corm size and corm tunic on morphoecophysiological characteristics of saffron (*Crocus sativus L.*) in greenhouse conditions. Journal ofAgroecology. 2, 323-334. [In Persian with English Summary].

- Saffari, M., oveysi, M., Zarghami, R., 2016. Effect of putrescine polyamine on some traits of the herb thyme (*Thymus vulgaris* L.) under water deficit stress. Agronomic Reaserch in Semi Desert Regions. 12(4), 279-289. [In Persian with English Summary].
- Siosemardeh, A., Ahmadi, A., Poustini, K., Ebrahimzadeh, H., 2004. Stomatal and nonstomatal limitations to photosynthesis and their relationship with drought resistance in wheat cultivars. Iranian Journal of Agriculture Science. 35, 93-106. [In Persian with English Summary].
- Swamy, K.N., Seeta Ram Rao, S., 2009. Effect of 24-epibrassinolide on growth, photosynthesis, and essential oil content of (*Pelargonium graveolens* L.) herit. Russian Journal of Plant Physiology. 52, 612-620.
- Taiz, L., Zaygar, E., 1998. Plant physiology. Jahad Publication, University of Mashhad. 365.
- Tattini, M., Galardi, C., Pinelli, P., Massai, R., Remorini, D., Agati, G., 2004. Differential accumulation of flavonoids and hydroxycinnamates in leaves of *Ligustrum vulgare* under excess light and drought stress. New Phytologist, 163, 547-561.
- Yordanov, V., Soev, T., 2000. Plant responses to drought, acclimation and stress tolerance. Photosynthica. 38, 171-186.
- Zhang, R.H., Li, J., Guo., S.R., Tezuka, T., 2009. Effects of exogenous putrescine on gas-exchange characteristics and chlorophyll fluorescence of NaCl-stressed cucumber seedlings. Photosynthesis Research. 100, 155-162.

*Original article*

## Evaluation of the effect of putrescine and brassinosteroid on induction of drought tolerance and physiological changes in basil plant (*Ocimum basilicum* L.)

F. Darabi<sup>1</sup>, N.A. Abbasi<sup>2\*</sup>, M.J. Zarea<sup>3</sup>

1. Ph.D. Student of Plant Physiology, Department of Agronomy and Plant Breeding, Faculty of Agriculture, Ilam University, Ilam, Iran

2. Assistant Professor, Department of Agronomy and Plant Breeding, Faculty of Agriculture, Ilam University, Ilam, Iran

3. Associate Professor, Department of Agronomy and Plant Breeding, Faculty of Agriculture, Ilam University, Ilam, Iran

Received 4 May 2019; Accepted 19 June 2019

### Abstract

Drought stress is one of the important environmental factors in arid and semi-arid regions of the world that causes a number of physiological and metabolic changes in plants. Drought stress causes the formation of reactive oxygen species in plant chloroplasts and also causes peroxidation of membrane lipids and destruction of cell membranes. In this regard, an experiment aimed at investigating the role of growth regulators, putrescine and brassinosteroids on the control of oxidative stress and physiological changes in water deficiency tolerance in basil in the form of factorial split-plot in a randomized complete block design with three replications in The research farm of the Faculty of Agriculture of Ilam University was implemented during 2017-2018 crop seson. Experimental treatments included drought stress at three levels (40, 80 and 120 mm evaporation from Class A evaporation pan) as the main agent and putrcin foliar application at three levels (zero, 0.5 and 2 mM) and solution. Brassinosteroid spraying was performed at three levels (zero, 0.5 and 2  $\mu$ M) factorially in subplots. According to the results obtained in this study, the amount of chlorophyll a and b, total flavonoids and CO<sub>2</sub> concentration under the stomata in the treatment of application of 2 mM follicle application of putricin and 2  $\mu$ M brassinosteroid compared to the control treatment (no foliar application) And brassinosteroids) in the conditions of non-drought stress 74.06, 64.07, 45.68 and 19.5%, in moderate stress 61.4, 33.9, 3.6 and 10.3% and in severe drought stress 1 62.68, 68.6, 33.1 and 15.7% showed an increase. The rate of photosynthesis decreased under drought stress, but the treatment of 0.5 mM putrescine and 2  $\mu$ M brassinosteroid compared to the control treatment (lack of foliar application of putricin and brassinosteroid) in moderate and severe drought stress increased by 76.59 and 83.33%, respectively. Photosynthesis rate. Application of foliar application of 2 mM putrescine and 0.5  $\mu$ M brassinosteroid reduced ion leakage under all levels of drought stress. The percentage of essential oil in the treatment (concentration of 2 mM putrescine and 0.5  $\mu$ M brassinosteroid) in severe drought stress, moderate drought stress and lack of drought stress, respectively, 66.5, 39.5 and 50% compared to the control treatment (no solution) Spraying of putrescine and brassinosteroids was increased. In general, it seems that consumption of high concentrations of putrescine and brassinosteroids (2 mM putrescine and 2  $\mu$ M brassinosteroids) in drought stress conditions can improve the physiological parameters of basil.

**Keywords:** Basil, Essential oil, Flavonoids, Photosynthesis, Spraying.

\*Correspondent author: Nosratollah Abbasi; E-Mail: abbasinosrat@gmail.com.